

393
8405³₃

И/III-67

ОБЪЕДИНЕННЫЙ
ИНСТИТУТ
ЯДЕРНЫХ
ИССЛЕДОВАНИЙ

Дубна

P4 - 3405



Л.И. Пономарев, Т.П. Пузынина

ЗАДАЧА ДВУХ ЦЕНТРОВ КВАНТОВОЙ МЕХАНИКИ
IV. МАТРИЧНЫЕ ЭЛЕМЕНТЫ

ЛАБОРАТОРИЯ ТЕОРЕТИЧЕСКОЙ ФИЗИКИ

1967.

P4 - 3405

Л.И. Пономарев, Т.П. Пузынина

ЗАДАЧА ДВУХ ЦЕНТРОВ КВАНТОВОЙ МЕХАНИКИ

IV. МАТРИЧНЫЕ ЭЛЕМЕНТЫ

Таблицы содержат результаты вычислений некоторых матричных элементов по волновым функциям $\Psi_i(\xi, \eta; R)$ задачи двух центров [1], [2], т.е. задачи о движении отрицательной частицы с массой M в поле двух фиксированных ядер с зарядами Z_1 и Z_2 и массами M_1 и M_2 , удаленных на расстояние R . Учет движения ядер приводит к системе уравнений [3], [4], [5]:

$$-\frac{1}{R^2} \frac{d}{dR} \left(R^2 \frac{dX_i}{dR} \right) + 2 Q_{ij}(R) \frac{dX_j}{dR} + K_{ij}(R) X_j + \frac{L(L+1)}{R^2} X_i = \quad (1)$$

$$= 2 \frac{M}{m} [\varepsilon_i - W_i(R)] X_i$$

где: $\frac{1}{M} = \frac{1}{M_1} + \frac{1}{M_2}$; $\frac{1}{m} = \frac{1}{M} + \frac{1}{M_1 + M_2}$. (2)

Собственные значения задачи двух центров $W_i(R) = E_i(R) + \frac{Z_1 Z_2}{R}$ приведены в особых таблицах [6] для систем $Z_1 = 1, Z_2 = 2, 3, \dots, 8$. Случай $Z_1 = Z_2 = 1$ рассмотрен в работе [7].

Явные выражения для матричных элементов $K_{ij}(R), Q_{ij}(R)$ имеет следующий вид:

$$K_{ij} = K_{ij}^{(+)} + \alpha K_{ij}^{(-)} + \alpha^2 \tilde{K}_{ij}$$

$$Q_{ij} = Q_{ij}^{(+)} + \alpha Q_{ij}^{(-)}$$

$$\alpha = \frac{M_2 - M_1}{M_2 + M_1} \quad (3)$$

$$K_{ij}^{(+)} = -\frac{\partial}{\partial R} \int d\tau \varphi_i \frac{\partial \varphi_j}{\partial R} + \int d\tau \frac{\partial \varphi_i}{\partial R} \cdot \frac{\partial \varphi_j}{\partial R} - \frac{5}{R} \int d\tau \varphi_i \frac{\partial \varphi_j}{\partial R} +$$

$$+ \frac{4}{R^2} \int \frac{d\tau}{\xi^2 - \eta^2} \varphi_i \left[\xi(\xi^2 - 1) \frac{\partial \varphi_j}{\partial \xi} + \eta(1 - \eta^2) \frac{\partial \varphi_j}{\partial \eta} \right] -$$

$$- \frac{2}{R} \int \frac{d\tau}{\xi^2 - \eta^2} \left[\xi(\xi^2 - 1) \frac{\partial \varphi_i}{\partial \xi} + \eta(1 - \eta^2) \frac{\partial \varphi_i}{\partial \eta} \right] \frac{\partial \varphi_j}{\partial R} +$$

$$+ \frac{1}{R^2} \int \frac{d\tau}{\xi^2 - \eta^2} (\xi^2 + \eta^2 - 1) \left[(\xi^2 - 1) \frac{\partial \varphi_i}{\partial \xi} \cdot \frac{\partial \varphi_j}{\partial \xi} + (1 - \eta^2) \frac{\partial \varphi_i}{\partial \eta} \cdot \frac{\partial \varphi_j}{\partial \eta} \right]$$

$$\begin{aligned}
 K_{ij}^{(-)} = & -\frac{4}{R^2} \int \frac{d\tau}{\xi^2 - \eta^2} \varphi_i \left[\eta (\xi^2 - 1) \frac{\partial \varphi_j}{\partial \xi} + \xi (1 - \eta^2) \frac{\partial \varphi_j}{\partial \eta} \right] + \\
 & + \frac{2}{R} \int \frac{d\tau}{\xi^2 - \eta^2} \left[\eta (\xi^2 - 1) \frac{\partial \varphi_i}{\partial \xi} + \xi (1 - \eta^2) \frac{\partial \varphi_i}{\partial \eta} \right] \frac{\partial \varphi_j}{\partial R} - \\
 & - \frac{2}{R^2} \int \frac{d\tau}{\xi^2 - \eta^2} \xi \eta \left[(\xi^2 - 1) \frac{\partial \varphi_i}{\partial \xi} \cdot \frac{\partial \varphi_j}{\partial \xi} + (1 - \eta^2) \frac{\partial \varphi_i}{\partial \eta} \cdot \frac{\partial \varphi_j}{\partial \eta} \right]
 \end{aligned} \quad (4)$$

$$\tilde{K}_{ij} = \frac{1}{R^2} \int \frac{d\tau}{\xi^2 - \eta^2} \left[(\xi^2 - 1) \frac{\partial \varphi_i}{\partial \xi} \cdot \frac{\partial \varphi_j}{\partial \xi} + (1 - \eta^2) \frac{\partial \varphi_i}{\partial \eta} \cdot \frac{\partial \varphi_j}{\partial \eta} \right]$$

$$Q_{ij}^{(+)} = - \int d\tau \varphi_i \frac{\partial \varphi_j}{\partial R} + \frac{1}{R} \int \frac{d\tau}{\xi^2 - \eta^2} \varphi_i \left[\xi (\xi^2 - 1) \frac{\partial \varphi_j}{\partial \xi} + \eta (1 - \eta^2) \frac{\partial \varphi_j}{\partial \eta} \right]$$

$$Q_{ij}^{(-)} = - \frac{1}{R} \int \frac{d\tau}{\xi^2 - \eta^2} \varphi_i \left[\eta (\xi^2 - 1) \frac{\partial \varphi_j}{\partial \xi} + \xi (1 - \eta^2) \frac{\partial \varphi_j}{\partial \eta} \right]$$

$$R_{ij} = \int d\tau \varphi_i \cdot \frac{R}{2} \xi \eta \varphi_j; \quad A_{ij} = |w_i(R) - w_j(R)|^3 \cdot |R_{ij}|^2$$

$$\int d\tau [\varphi_i(\xi, \eta; R)]^2 = 1; \quad d\tau = \frac{\pi R^3}{4} (\xi^2 - \eta^2) d\xi d\eta$$

$$\varphi_i = \frac{1}{N_i} X_i(\xi; R) Y_i(\eta; R)$$

Такой вид матричных элементов в уравнении (I) соответствует выбору координат Якоби при разделении переменных в первоначальном уравнении, которое описывало движение $3^{\frac{1}{2}}$ частиц [4], [5]. В этом случае асимптотические значения диагональных матричных элементов равны:

при $R \rightarrow 0$

$$K_{ii}^{(+)} = \frac{l(l+1)}{R^2};$$

$$\tilde{K}_{ii} = -\frac{1}{2} E_i(0) = \frac{(Z_1 + Z_2)^2}{4 N^2}$$

при $R \rightarrow \infty$

$$K_{ii}^{(+)} = \widetilde{K}_{ii} = -\frac{1}{2} E_i(\infty)$$

$$E_i(\infty) = -\frac{Z_1^2}{2n'^2} \text{ для } e Z_1 \text{-термов}$$

$$E_i(\infty) = -\frac{Z_2^2}{2n'^2} \text{ для } e Z_2 \text{-термов}$$

(n и n' — параболические квантовые числа см. [9]).

При выборе координат, который использован в работах [8], необходимо положить:

$$K_{ij} = \widetilde{K}_{ij}^{(+)} + \alpha K_{ij}^{(-)} \quad (5)$$

$$\widetilde{K}_{ij}^{(+)} = K_{ij}^{(+)} + \widetilde{K}_{ij}$$

Выражения (3) и (5), очевидно, совпадают с точностью до членов порядка $\sim \left(\frac{m}{M}\right)^2$.

В случае $i = j$ выражения упрощаются:

$$K_{ii}^{(+)} = \int d\tau \left(\frac{\partial \varphi_i}{\partial R}\right)^2 - \frac{2}{R} \int \frac{d\tau}{\xi^2 - \eta^2} \left[\xi(\xi^2 - 1) \frac{\partial \varphi_i}{\partial \xi} + \eta(1 - \eta^2) \frac{\partial \varphi_i}{\partial \eta} \right] \frac{\partial \varphi_i}{\partial R} +$$

$$+ \frac{1}{R^2} \int \frac{d\tau}{\xi^2 - \eta^2} (\xi^2 + \eta^2 - 1) \left[(\xi^2 - 1) \left(\frac{\partial \varphi_i}{\partial \xi}\right)^2 + (1 - \eta^2) \left(\frac{\partial \varphi_i}{\partial \eta}\right)^2 \right]$$

$$K_{ii}^{(-)} = \frac{2}{R} \int \frac{d\tau}{\xi^2 - \eta^2} \left[\eta(\xi^2 - 1) \frac{\partial \varphi_i}{\partial \xi} + \xi(1 - \eta^2) \frac{\partial \varphi_i}{\partial \eta} \right] \frac{\partial \varphi_i}{\partial R} -$$

$$- \frac{2}{R^2} \int \frac{d\tau}{\xi^2 - \eta^2} \xi \eta \left[(\xi^2 - 1) \left(\frac{\partial \varphi_i}{\partial \xi}\right)^2 + (1 - \eta^2) \left(\frac{\partial \varphi_i}{\partial \eta}\right)^2 \right]$$

$$Q_{iii}^{(+)} = Q_{iii}^{(-)} = 0 \quad (6)$$

Таблицы содержат значения матричных элементов системы $Z_1 = 1, Z_2 = 2$ для термов $\alpha \equiv 1s\sigma = \{N=1, l=0, m=0\}; \beta \equiv 2p\sigma = \{N=2, l=1, m=0\}$ (обозначения см.

в [5], [9]).

Основная часть таблиц содержит матричные элементы для всевозможных сочетаний термов системы $Z_1 = Z_2 = 1$, причем ряду

1sб, 2sб, 2pб, 3sб, 3pб, 3dб, 4sб, 4pб, 4dб, 4fб

соответствует нумерация:

0, 1, 2, 3, 4, 5, 6, 7, 8, 9.

При этом, в силу симметрии задачи при $Z_1 = Z_2$, если $|\ell_i - \ell_j| = 2k$

$k = 0, 1, 2, \dots$, то:

$$K_{ij}^{(-)} = Q_{ij}^{(-)} = 0$$

если же: $|\ell_i - \ell_j| = 2k + 1$, то

$$K_{ij}^{(+)} = Q_{ij}^{(+)} = \tilde{K}_{ij} = 0$$

Подробный алгоритм для вычисления волновых функций $X_i(\xi; R)$, $Y_i(\eta; R)$, нормировок $N_i(R)$ и матричных элементов $K_{ij}(R)$ и $Q_{ij}(R)$ изложен в предыдущей работе [9].

При вычислении положено [9]:

$$\int d\tau = \int_1^{\xi^*} \int_{\eta_-^*}^{\eta_+^*} (\xi^2 - \eta^2) d\xi d\eta$$

Пределы интегрирования:

$$\xi^* = \frac{10}{P} + 1; \quad \eta_+^* = -1 + \frac{20}{P}; \quad \eta_-^* = 1 - \frac{20}{P};$$

при $|\eta_+^*| = |\eta_-^*| > 1$ $\eta_+^* = 1$; $\eta_-^* = -1$.

Шаг интегрирования:

$$h_\xi = \frac{\xi^* - 1}{256}; \quad h_\eta = \frac{\eta_+^* - \eta_-^*}{128};$$

равен шагу табулирования функций $X(\xi; R)$ и $Y(\eta; R)$. Точность вычисления ϵ_f функций $X(\xi; R)$ и $Y(\eta; R)$ равна: $\epsilon_f \leq 10^{-7}$.

При вычислении производных $\frac{\partial X}{\partial \xi}$ и $\frac{\partial Y}{\partial \eta}$ значения функций $X(\xi + \Delta \xi)$ и $Y(\eta + \Delta \eta)$ найдены с помощью квадратичной интерполяции таблиц функций $X(\xi; R)$ и $Y(\eta; R)$. При этом положено:

$$\Delta \xi = 10^{-3}; \quad \Delta \zeta = 10^{-4}$$

Для вычисления производных $\frac{\partial X}{\partial R}$ и $\frac{\partial Y}{\partial R}$, кроме функций $X(\xi; R)$ и $Y(\zeta; R)$ необходимо знать их значения $X(\xi; R + \delta R)$, $Y(\zeta; R + \delta R)$ в "сдвинутой" точке $R + \delta R$. Основная часть таблиц вычислена при значении $\delta R = 10^{-4}$. Однако при этом в некоторых случаях при $R \geq 7$ растут погрешности вычислений. При значении $\delta R = 10^{-3}$ эти погрешности меньше, однако, при $R \leq 1$ необходимо использовать значение $\delta R = 10^{-4}$. В области $1 \leq R \leq 7$ результаты расчетов, использующие значения $\delta R = 10^{-3}$ и $\delta R = 10^{-4}$, совпадают.

Для иллюстрации на Рис. I-17 приведены графики матричных элементов $K_{ij}^{(+)}$, $K_{ij}^{(-)}$, $Q_{ij}^{(+)}$, $Q_{ij}^{(-)}$, \tilde{K}_{ij} для различных сочетаний термов.

Соотношения симметрии :

$$Q_{ij}^{(+)} = - Q_{ji}^{(+)}$$

$$Q_{ij}^{(-)} = - Q_{ji}^{(-)}$$

$$\tilde{K}_{ij} = \tilde{K}_{ji}$$

Мы очень благодарны К.Н.Даниловой, И.К.Романовой и Л.А.Фроловой за помощь при подготовке таблиц к печати.

Литература:

1. E. Teller, Z.f.Phys. 61, 458 (1930).
W.G. Baber, H.R. Hesse, Proc.Camb.Phyl.Soc. 31, 564 (1938);
S.K. Chakravarty, Phyl.Mag. 28, 423 (1939).
2. С.С.Герштейн, В.Д.Кривенков, ЖЭТФ 40, 1491 (1961).
Л.И.Пономарев, Т.П.Пузынина, Препринт ОИЯИ Р2-3009, Дубна, 1966.
3. N.F.Mott, H.S.Massey, The theory of atomic collisions, third edition, Oxford, 1965.
Мотт и Мессси. Теория атомных столкновений, Второе издание, Москва, 1951.
4. S.Cohen, D.L.Judd, R.J.Ryddel, Phys.Rev. 119, 384 (1960).
5. Л.И.Пономарев, Препринт ОИЯИ Р4- 3011, Дубна, 1966.
6. Л.И.Пономарев, Т.П.Пузынина, Препринт ОИЯИ Р4-3175, Дубна, 1966.
7. D.R.Bates, L.Ledsham, A.L.Stewart, Phyl.Trans.Roy.Soc. A246, 215 (1953).
8. В.Б.Беляев, С.С.Герштейн, Б.Н.Захарьев, С.П.Ломнев, ЖЭТФ 37, 1652, 1959.
Я.Б.Зельдович, С.С.Герштейн, УФН 71, 581 (1960).
9. Л.И.Пономарев, Т.П.Пузынина, препринт ОИЯИ Р2- 3012, Дубна, 1966.

Рукопись поступила в издательский отдел
22 июня 1967 года.

R	$K_{oo}^{(+)}$	N_o	R_{oo}	R	$K_{oz}^{(+)}$	$Q_{oz}^{(+)}$	R_{oz}	R	$K_{oz}^{(-)}$	$Q_{oz}^{(-)}$
0,2	0,091	0,566	0,906	0,2	-10,038	-0,145	0,387	0,2	-5,581	-0,286
0,4	0,152	0,717	0,767	0,4	-4,473	-0,182	0,339	0,4	-2,987	-0,293
0,6	0,175	0,880	0,649	0,6	-1,348	-0,192	0,297	0,6	-2,140	-0,299
0,8	0,181	1,045	0,557	0,8	-0,663	-0,191	0,263	0,8	-1,696	-0,302
1,0	0,182	1,211	0,486	1,0	-0,389	-0,186	0,235	1,0	-1,401	-0,299
1,2	0,180	1,374	0,430	1,2	-0,255	-0,180	0,213	1,2	-1,182	-0,292
1,4	0,177	1,533	0,386	1,4	-0,178	-0,174	0,194	1,4	-1,016	-0,279
1,6	0,176	1,684	0,351	1,6	-0,128	-0,168	0,179	1,6	-0,892	-0,263
1,8	0,175	1,828	0,323	1,8	-0,094	-0,162	0,166	1,8	-0,797	-0,246
2,0	0,174	1,964	0,301	2,0	-0,071	-0,157	0,155	2,0	-0,726	-0,228
2,2	0,175	2,090	0,282	2,2	-0,053	-0,152	0,146	2,2	-0,672	-0,211
2,4	0,176	2,207	0,267	2,4	-0,039	-0,148	0,138	2,4	-0,630	-0,194
2,6	0,178	2,314	0,255	2,6	-0,029	-0,144	0,131	2,6	-0,597	-0,179
2,8	0,180	2,411	0,245	2,8	-0,020	-0,140	0,125	2,8	-0,571	-0,164
3,0	0,183	2,498	0,237	3,0	-0,013	-0,136	0,119	3,0	-0,550	-0,150
3,2	0,186	2,576	0,231	3,2	-0,008	-0,133	0,115	3,2	-0,534	-0,137
3,4	0,190	2,645	0,226	3,4	-0,003	-0,130	0,111	3,4	-0,521	-0,125
3,6	0,194	2,706	0,223	3,6	0,001	-0,127	0,107	3,6	-0,510	-0,114
3,8	0,198	2,758	0,220	3,8	0,005	-0,125	0,104	3,8	-0,502	-0,104
4,0	0,202	2,804	0,219	4,0	0,008	-0,123	0,101	4,0	-0,496	-0,094
4,2	0,206	2,843	0,218	4,2	0,011	-0,120	0,098	4,2	-0,492	-0,085
4,4	0,210	2,876	0,218	4,4	0,013	-0,118	0,096	4,4	-0,488	-0,077
4,6	0,214	2,905	0,218	4,6	0,015	-0,116	0,094	4,6	-0,486	-0,069
4,8	0,218	2,929	0,219	4,8	0,017	-0,115	0,092	4,8	-0,484	-0,062
5,0	0,222	2,949	0,220	5,0	0,018	-0,113	0,091	5,0	-0,483	-0,056
5,2	0,225	2,966	0,222	5,2	0,020	-0,112	0,089	5,2	-0,483	-0,050
5,4	0,228	2,981	0,223	5,4	0,022	-0,110	0,088	5,4	-0,483	-0,045
5,6	0,231	2,994	0,225	5,6	0,023	-0,109	0,087	5,6	-0,484	-0,040
5,8	0,234	3,005	0,227	5,8	0,025	-0,108	0,086	5,8	-0,484	-0,035
6,0	0,236	3,015	0,229	6,0	0,026	-0,107	0,085	6,0	-0,485	-0,031
6,2	0,238	3,024	0,231	6,2	0,027	-0,106	0,085	6,2	-0,486	-0,027
6,4	0,239	3,032	0,232	6,4	0,028	-0,105	0,084	6,4	-0,487	-0,024
6,6	0,241	3,040	0,234	6,6	0,029	-0,104	0,083	6,6	-0,488	-0,021
6,8	0,242	3,047	0,236	6,8	0,030	-0,103	0,083	6,8	-0,489	-0,019
7,0	0,243	3,054	0,237	7,0	0,031	-0,102	0,082	7,0	-0,490	-0,016
7,2	0,244	3,061	0,238	7,2	0,032	-0,102	0,082	7,2	-0,491	-0,014
7,4	0,245	3,067	0,240	7,4	0,033	-0,101	0,082	7,4	-0,491	-0,013
7,6	0,246	3,074	0,241	7,6	0,034	-0,100	0,081	7,6	-0,492	-0,011
7,8	0,246	3,081	0,242	7,8	0,035	-0,100	0,081	7,8	-0,493	-0,009
8,0	0,247	3,087	0,243	8,0	0,035	-0,100	0,081	8,0	-0,493	-0,008
8,2	0,247	3,093	0,243	8,2	0,036	-0,099	0,081	8,2	-0,494	-0,007
8,4	0,247	3,100	0,244	8,4	0,037	-0,099	0,081	8,4	-0,494	-0,006
8,6	0,248	3,106	0,245	8,6	0,037	-0,098	0,081	8,6	-0,495	-0,006
8,8	0,248	3,112	0,245	8,8	0,038	-0,098	0,081	8,8	-0,496	-0,005
9,0	0,249	3,118	0,246	9,0	0,039	-0,098	0,080	9,0	-0,496	-0,004
10,0	0,250	3,148	0,248	10,0	0,043	-0,097	0,080	10,0	-0,498	-0,002

R	$K_{03}^{(+)}$	$Q_{03}^{(+)}$	\tilde{K}_{03}	R	$K_{04}^{(-)}$	$Q_{04}^{(-)}$	R	$K_{05}^{(+)}$	$Q_{05}^{(+)}$	\tilde{K}_{05}
0,2	-4,380	-0,061	0,199	0,2	-2,664	-0,132	0,2	0,126	0,004	0,000
0,4	-1,969	-0,082	0,175	0,4	-1,340	-0,130	0,4	0,133	0,009	0,000
0,6	-0,611	-0,088	0,154	0,6	-0,875	-0,124	0,6	0,143	0,014	0,001
0,8	-0,306	-0,091	0,136	0,8	-0,613	-0,114	0,8	0,154	0,020	0,002
1,0	-0,189	-0,086	0,122	1,0	-0,438	-0,100	1,0	0,166	0,027	0,004
1,2	-0,129	-0,084	0,110	1,2	-0,319	-0,083	1,2	0,179	0,034	0,005
1,4	-0,093	-0,081	0,101	1,4	-0,243	-0,064	1,4	0,194	0,042	0,008
1,6	-0,070	-0,078	0,093	1,6	-0,197	-0,047	1,6	0,209	0,051	0,011
1,8	-0,054	-0,076	0,086	1,8	-0,169	-0,031	1,8	0,225	0,061	0,014
2,0	-0,042	-0,074	0,080	2,0	-0,153	-0,016	2,0	0,241	0,071	0,018
2,2	-0,033	-0,072	0,075	2,2	-0,143	-0,004	2,2	0,257	0,082	0,023
2,4	-0,027	-0,070	0,071	2,4	-0,137	0,007	2,4	0,272	0,094	0,029
2,6	-0,021	-0,068	0,068	2,6	-0,134	0,016	2,6	0,286	0,106	0,035
2,8	-0,017	-0,067	0,064	2,8	-0,131	0,025	2,8	0,296	0,119	0,042
3,0	-0,013	-0,065	0,061	3,0	-0,130	0,032	3,0	0,303	0,131	0,049
3,2	-0,010	-0,064	0,059	3,2	-0,129	0,038	3,2	0,306	0,142	0,057
3,4	-0,007	-0,063	0,056	3,4	-0,128	0,044	3,4	0,306	0,153	0,064
3,6	-0,005	-0,062	0,054	3,6	-0,128	0,049	3,6	0,303	0,163	0,071
3,8	-0,003	-0,061	0,053	3,8	-0,128	0,053	3,8	0,297	0,172	0,078
4,0	-0,001	-0,059	0,051	4,0	-0,128	0,058	4,0	0,289	0,179	0,084
4,2	0,000	-0,059	0,049	4,2	-0,128	0,061	4,2	0,280	0,185	0,090
4,4	0,002	-0,058	0,048	4,4	-0,128	0,065	4,4	0,271	0,190	0,095
4,6	0,003	-0,057	0,047	4,6	-0,129	0,068	4,6	0,260	0,193	0,099
4,8	0,004	-0,057	0,046	4,8	-0,129	0,071	4,8	0,250	0,196	0,102
5,0	0,005	-0,056	0,045	5,0	-0,129	0,074	5,0	0,240	0,197	0,105
5,2	0,006	-0,055	0,044	5,2	-0,130	0,076	5,2	0,229	0,197	0,107
5,4	0,007	-0,055	0,043	5,4	-0,130	0,078	5,4	0,219	0,196	0,108
5,6	0,008	-0,054	0,042	5,6	-0,131	0,080	5,6	0,210	0,195	0,109
5,8	0,008	-0,054	0,042	5,8	-0,131	0,082	5,8	0,200	0,193	0,109
6,0	0,010	-0,053	0,041	6,0	-0,131	0,083	6,0	0,191	0,190	0,109
6,2	0,010	-0,053	0,041	6,2	-0,132	0,085	6,2	0,183	0,187	0,108
6,4	0,010	-0,052	0,040	6,4	-0,132	0,086	6,4	0,175	0,183	0,108
6,6	0,011	-0,052	0,040	6,6	-0,132	0,087	6,6	0,168	0,180	0,107
6,8	0,011	-0,052	0,039	6,8	-0,133	0,088	6,8	0,161	0,176	0,105
7,0	0,012	-0,051	0,039	7,0	-0,133	0,089	7,0	0,155	0,172	0,104
7,2	0,012	-0,051	0,038	7,2	-0,133	0,090	7,2	0,149	0,167	0,102
7,4	0,013	-0,051	0,038	7,4	-0,133	0,091	7,4	0,144	0,163	0,101
7,6	0,013	-0,050	0,038	7,6	-0,133	0,092	7,6	0,138	0,159	0,099
7,8	0,013	-0,050	0,038	7,8	-0,134	0,092	7,8	0,133	0,155	0,097
8,0	0,014	-0,050	0,037	8,0	-0,134	0,093	8,0	0,129	0,151	0,095
8,2	0,014	-0,050	0,037	8,2	-0,134	0,093	8,2	0,125	0,147	0,093
8,4	0,015	-0,050	0,037	8,4	-0,134	0,094	8,4	0,123	0,143	0,092
8,6	0,015	-0,049	0,037	8,6	-0,134	0,094	8,6	0,121	0,140	0,090
8,8	0,015	-0,049	0,037	8,8	-0,134	0,094	8,8	0,118	0,136	0,088
9,0	0,016	-0,049	0,036	9,0	-0,134	0,094	9,0	0,113	0,133	0,086
10,0	0,017	-0,048	0,036	10,0	-0,134	0,095	10,0	0,100	0,119	0,079

R	$K_{06}^{(+)}$	$Q_{06}^{(+)}$	\bar{K}_{06}	R	$K_{07}^{(-)}$	$Q_{07}^{(-)}$	R	$K_{08}^{(+)}$	$Q_{08}^{(+)}$	\bar{K}_{08}
0,2	-2,470	-0,035	0,128	0,2	-1,598	-0,082	0,2	0,090	0,003	0,000
0,4	-1,095	-0,050	0,112	0,4	-0,792	-0,080	0,4	0,095	0,006	0,000
0,6	-0,323	-0,054	0,099	0,6	-0,506	-0,075	0,6	0,101	0,010	0,001
0,8	-0,154	-0,054	0,088	0,8	-0,345	-0,067	0,8	0,107	0,014	0,002
1,0	-0,097	-0,053	0,079	1,0	-0,240	-0,056	1,0	0,114	0,019	0,003
1,2	-0,065	-0,052	0,072	1,2	-0,172	-0,045	1,2	0,121	0,023	0,004
1,4	-0,046	-0,051	0,066	1,4	-0,131	-0,033	1,4	0,129	0,028	0,006
1,6	-0,035	-0,049	0,060	1,6	-0,108	-0,022	1,6	0,136	0,034	0,008
1,8	-0,026	-0,048	0,056	1,8	-0,094	-0,013	1,8	0,143	0,040	0,011
2,0	-0,020	-0,047	0,052	2,0	-0,087	-0,005	2,0	0,149	0,045	0,014
2,2	-0,016	-0,045	0,049	2,2	-0,082	-0,002	2,2	0,153	0,051	0,017
2,4	-0,012	-0,044	0,046	2,4	-0,079	0,008	2,4	0,155	0,057	0,021
2,6	-0,009	-0,043	0,044	2,6	-0,077	0,013	2,6	0,153	0,062	0,026
2,8	-0,006	-0,042	0,042	2,8	-0,075	0,017	2,8	0,149	0,066	0,030
3,0	-0,005	-0,042	0,040	3,0	-0,074	0,021	3,0	0,142	0,069	0,035
3,2	-0,003	-0,041	0,038	3,2	-0,073	0,024	3,2	0,133	0,072	0,039
3,4	-0,002	-0,040	0,037	3,4	-0,072	0,027	3,4	0,122	0,073	0,044
3,6	-0,001	-0,039	0,035	3,6	-0,072	0,030	3,6	0,111	0,072	0,047
3,8	0,000	-0,039	0,034	3,8	-0,071	0,032	3,8	0,101	0,071	0,051
4,0	0,001	-0,038	0,033	4,0	-0,071	0,034	4,0	0,092	0,069	0,054
4,2	0,002	-0,038	0,032	4,2	-0,071	0,036	4,2	0,085	0,067	0,056
4,4	0,003	-0,037	0,031	4,4	-0,070	0,038	4,4	0,078	0,063	0,058
4,6	0,004	-0,037	0,030	4,6	-0,070	0,039	4,6	0,073	0,060	0,060
4,8	0,004	-0,036	0,030	4,8	-0,070	0,040	4,8	0,069	0,056	0,061
5,0	0,005	-0,036	0,029	5,0	-0,070	0,042	5,0	0,066	0,053	0,062
5,2	0,005	-0,036	0,028	5,2	-0,070	0,043	5,2	0,063	0,049	0,063
5,4	0,006	-0,035	0,028	5,4	-0,070	0,044	5,4	0,061	0,045	0,063
5,6	0,006	-0,035	0,027	5,6	-0,070	0,045	5,6	0,060	0,041	0,064
5,8	0,007	-0,035	0,027	5,8	-0,070	0,046	5,8	0,059	0,038	0,064
6,0	0,007	-0,035	0,026	6,0	-0,070	0,046	6,0	0,057	0,035	0,064
6,2	0,007	-0,034	0,026	6,2	-0,069	0,047	6,2	0,057	0,031	0,064
6,4	0,008	-0,034	0,025	6,4	-0,069	0,048	6,4	0,056	0,028	0,064
6,6	0,008	-0,034	0,025	6,6	-0,069	0,048	6,6	0,055	0,026	0,063
6,8	0,008	-0,033	0,025	6,8	-0,069	0,049	6,8	0,055	0,023	0,063
7,0	0,008	-0,033	0,024	7,0	-0,069	0,049	7,0	0,054	0,020	0,063
7,2	0,009	-0,033	0,024	7,2	-0,069	0,049	7,2	0,054	0,018	0,062
7,4	0,009	-0,033	0,024	7,4	-0,069	0,050	7,4	0,054	0,016	0,061
7,6	0,009	-0,033	0,024	7,6	-0,069	0,050	7,6	0,053	0,014	0,061
7,8	0,009	-0,032	0,023	7,8	-0,068	0,050	7,8	0,053	0,013	0,060
8,0	0,010	-0,032	0,023	8,0	-0,068	0,050	8,0	0,052	0,011	0,059
8,2	0,010	-0,032	0,023	8,2	-0,068	0,051	8,2	0,051	0,009	0,059
8,4	0,010	-0,032	0,023	8,4	-0,068	0,051	8,4	0,052	0,008	0,058
8,6	0,010	-0,032	0,023	8,6	-0,068	0,051	8,6	0,052	0,007	0,057
8,8	0,010	-0,032	0,022	8,8	-0,068	0,051	8,8	0,052	0,006	0,056
9,0	0,010	-0,031	0,022	9,0	-0,067	0,051	9,0	0,050	0,005	0,055
10,0	0,011	-0,031	0,022	10,0	-0,067	0,051	10,0	0,047	0,001	0,051

R	$K_{09}^{(-)}$	$Q_{09}^{(-)}$	R	$K_{10}^{(+)}$	$Q_{10}^{(+)}$	\tilde{K}_{10}	R	$K_{11}^{(+)}$	N_1	\tilde{K}_{11}
0,2	-0,001	0,000	0,2	10,161	0,145	0,387	0,2	0,091	3,168	0,233
0,4	-0,002	0,000	0,4	4,647	0,183	0,339	0,4	0,128	3,951	0,219
0,6	-0,003	0,000	0,6	1,540	0,193	0,297	0,6	0,142	4,777	0,201
0,8	-0,004	0,000	0,8	0,840	0,190	0,263	0,8	0,141	5,623	0,186
1,0	-0,006	-0,001	1,0	0,537	0,187	0,235	1,0	0,134	6,480	0,173
1,2	-0,007	-0,001	1,2	0,434	0,181	0,213	1,2	0,127	7,341	0,162
1,4	-0,009	-0,002	1,4	0,347	0,174	0,194	1,4	0,119	8,203	0,152
1,6	-0,012	-0,002	1,6	0,292	0,168	0,179	1,6	0,112	9,062	0,144
1,8	-0,014	-0,003	1,8	0,251	0,163	0,166	1,8	0,106	9,914	0,137
2,0	-0,017	-0,004	2,0	0,221	0,157	0,155	2,0	0,100	10,758	0,130
2,2	-0,020	-0,005	2,2	0,198	0,152	0,146	2,2	0,096	11,591	0,124
2,4	-0,023	-0,006	2,4	0,179	0,148	0,138	2,4	0,091	12,410	0,119
2,6	-0,027	-0,008	2,6	0,165	0,144	0,131	2,6	0,087	13,215	0,114
2,8	-0,031	-0,009	2,8	0,152	0,140	0,125	2,8	0,084	14,002	0,110
3,0	-0,036	-0,012	3,0	0,142	0,137	0,119	3,0	0,081	14,772	0,106
3,2	-0,041	-0,014	3,2	0,134	0,133	0,115	3,2	0,079	15,522	0,103
3,4	-0,047	-0,016	3,4	0,127	0,130	0,111	3,4	0,077	16,251	0,100
3,6	-0,053	-0,019	3,6	0,121	0,128	0,107	3,6	0,075	16,959	0,097
3,8	-0,060	-0,022	3,8	0,115	0,125	0,104	3,8	0,073	17,644	0,094
4,0	-0,067	-0,026	4,0	0,111	0,123	0,101	4,0	0,072	18,306	0,092
4,2	-0,075	-0,029	4,2	0,107	0,121	0,098	4,2	0,071	18,945	0,089
4,4	-0,084	-0,034	4,4	0,103	0,118	0,096	4,4	0,070	19,560	0,087
4,6	-0,093	-0,038	4,6	0,101	0,117	0,094	4,6	0,069	20,151	0,085
4,8	-0,103	-0,043	4,8	0,098	0,115	0,092	4,8	0,068	20,727	0,084
5,0	-0,113	-0,049	5,0	0,095	0,114	0,091	5,0	0,068	21,261	0,082
5,2	-0,123	-0,054	5,2	0,093	0,112	0,089	5,2	0,067	21,780	0,081
5,4	-0,133	-0,060	5,4	0,092	0,111	0,088	5,4	0,067	22,276	0,079
5,6	-0,144	-0,066	5,6	0,090	0,109	0,087	5,6	0,067	22,750	0,078
5,8	-0,154	-0,072	5,8	0,089	0,108	0,086	5,8	0,067	23,201	0,077
6,0	-0,163	-0,078	6,0	0,087	0,107	0,085	6,0	0,066	23,631	0,076
6,2	-0,172	-0,084	6,2	0,086	0,106	0,085	6,2	0,066	24,040	0,075
6,4	-0,180	-0,090	6,4	0,085	0,105	0,084	6,4	0,066	24,430	0,074
6,6	-0,187	-0,096	6,6	0,085	0,104	0,083	6,6	0,067	24,800	0,073
6,8	-0,194	-0,101	6,8	0,084	0,103	0,083	6,8	0,067	25,153	0,072
7,0	-0,199	-0,106	7,0	0,083	0,103	0,082	7,0	0,067	25,488	0,072
7,2	-0,203	-0,111	7,2	0,082	0,102	0,082	7,2	0,067	25,808	0,071
7,4	-0,207	-0,115	7,4	0,082	0,101	0,082	7,4	0,067	26,112	0,071
7,6	-0,210	-0,119	7,6	0,082	0,101	0,081	7,6	0,067	26,403	0,070
7,8	-0,212	-0,122	7,8	0,081	0,100	0,081	7,8	0,068	26,680	0,070
8,0	-0,213	-0,125	8,0	0,081	0,100	0,081	8,0	0,068	26,946	0,069
8,2	-0,214	-0,128	8,2	0,081	0,100	0,081	8,2	0,068	27,200	0,069
8,4	-0,215	-0,130	8,4	0,081	0,099	0,081	8,4	0,068	27,445	0,069
8,6	-0,215	-0,131	8,6	0,081	0,099	0,081	8,6	0,068	27,680	0,068
8,8	-0,215	-0,133	8,8	0,081	0,099	0,081	8,8	0,069	27,907	0,068
9,0	-0,215	-0,134	9,0	0,081	0,099	0,080	9,0	0,069	28,127	0,068
10,0	-0,215	-0,135	10,0	0,080	0,099	0,080	10,0	0,069	29,134	0,067

R	$K_{12}^{(-)}$	$Q_{12}^{(-)}$	R	$K_{13}^{(+)}$	$Q_{13}^{(+)}$	\tilde{K}_{13}	R	$K_{14}^{(-)}$	$Q_{14}^{(-)}$
0,2	-0,211	-0,009	0,2	-17,309	-0,156	+0,138	0,2	-2,582	-0,128
0,4	-0,345	-0,027	0,4	-7,496	-0,193	0,128	0,4	-1,428	-0,138
0,6	-0,424	-0,048	0,6	-2,035	-0,202	0,119	0,6	-1,047	-0,148
0,8	-0,461	-0,069	0,8	-0,926	-0,200	0,111	0,8	-0,835	-0,156
1,0	-0,463	-0,088	1,0	-0,527	-0,194	0,104	1,0	-0,682	-0,159
1,2	-0,442	-0,103	1,2	-0,339	-0,188	0,098	1,2	-0,563	-0,159
1,4	-0,410	-0,113	1,4	-0,235	-0,181	0,092	1,4	-0,471	-0,155
1,6	-0,376	-0,120	1,6	-0,171	-0,174	0,088	1,6	-0,403	-0,149
1,8	-0,345	-0,123	1,8	-0,130	-0,168	0,084	1,8	-0,352	-0,142
2,0	-0,319	-0,125	2,0	-0,101	-0,163	0,080	2,0	-0,314	-0,134
2,2	-0,297	-0,125	2,2	-0,079	-0,157	0,077	2,2	-0,285	-0,127
2,4	-0,278	-0,124	2,4	-0,064	-0,152	0,074	2,4	-0,262	-0,120
2,6	-0,263	-0,123	2,6	-0,052	-0,148	0,071	2,6	-0,244	-0,113
2,8	-0,250	-0,122	2,8	-0,042	-0,144	0,069	2,8	-0,229	-0,107
3,0	-0,238	-0,120	3,0	-0,034	-0,140	0,067	3,0	-0,217	-0,102
3,2	-0,229	-0,118	3,2	-0,028	-0,136	0,065	3,2	-0,207	-0,096
3,4	-0,220	-0,116	3,4	-0,023	-0,133	0,063	3,4	-0,198	-0,091
3,6	-0,213	-0,114	3,6	-0,019	-0,130	0,061	3,6	-0,190	-0,087
3,8	-0,206	-0,113	3,8	-0,015	-0,127	0,059	3,8	-0,183	-0,082
4,0	-0,201	-0,111	4,0	-0,012	-0,124	0,058	4,0	-0,177	-0,078
4,2	-0,196	-0,110	4,2	-0,010	-0,121	0,056	4,2	-0,172	-0,074
4,4	-0,191	-0,108	4,4	-0,007	-0,119	0,055	4,4	-0,168	-0,070
4,6	-0,187	-0,107	4,6	-0,005	-0,116	0,054	4,6	-0,164	-0,067
4,8	-0,184	-0,105	4,8	-0,004	-0,114	0,053	4,8	-0,160	-0,064
5,0	-0,181	-0,104	5,0	-0,002	-0,112	0,051	5,0	-0,157	-0,061
5,2	-0,178	-0,103	5,2	-0,001	-0,110	0,050	5,2	-0,154	-0,058
5,4	-0,176	-0,102	5,4	0,001	-0,108	0,049	5,4	-0,152	-0,055
5,6	-0,173	-0,101	5,6	0,002	-0,106	0,049	5,6	-0,149	-0,052
5,8	-0,172	-0,101	5,8	0,003	-0,104	0,048	5,8	-0,147	-0,049
6,0	-0,170	-0,100	6,0	0,004	-0,103	0,047	6,0	-0,145	-0,047
6,2	-0,168	-0,099	6,2	0,004	-0,101	0,046	6,2	-0,144	-0,045
6,4	-0,167	-0,099	6,4	0,005	-0,100	0,046	6,4	-0,142	-0,042
6,6	-0,166	-0,098	6,6	0,006	-0,098	0,045	6,6	-0,141	-0,040
6,8	-0,165	-0,098	6,8	0,007	-0,097	0,044	6,8	-0,140	-0,038
7,0	-0,164	-0,097	7,0	0,007	-0,096	0,044	7,0	-0,139	-0,036
7,2	-0,164	-0,097	7,2	0,008	-0,094	0,043	7,2	-0,138	-0,034
7,4	-0,163	-0,096	7,4	0,008	-0,093	0,043	7,4	-0,137	-0,032
7,6	-0,162	-0,096	7,6	0,009	-0,092	0,042	7,6	-0,137	-0,030
7,8	-0,162	-0,096	7,8	0,009	-0,091	0,042	7,8	-0,136	-0,029
8,0	-0,162	-0,096	8,0	0,010	-0,090	0,041	8,0	-0,136	-0,027
8,2	-0,161	-0,095	8,2	0,010	-0,089	0,041	8,2	-0,136	-0,026
8,4	-0,161	-0,095	8,4	0,011	-0,088	0,040	8,4	-0,135	-0,024
8,6	-0,161	-0,095	8,6	0,011	-0,087	0,040	8,6	-0,134	-0,023
8,8	-0,161	-0,095	8,8	0,011	-0,086	0,040	8,8	-0,134	-0,021
9,0	-0,161	-0,095	9,0	0,012	-0,085	0,039	9,0	-0,134	-0,020
10,0	-0,159	-0,095	10,0	0,013	-0,081	0,038	10,0	-0,133	-0,015

R	$K_{15}^{(+)}$	$Q_{15}^{(+)}$	\tilde{K}_{15}	R	$K_{20}^{(-)}$	$Q_{20}^{(-)}$	R	$K_{21}^{(-)}$	$Q_{21}^{(-)}$
0,2	-0,140	-0,005	0,000	0,2	-0,014	0,283	0,2	0,126	0,089
0,4	-0,135	-0,009	0,000	0,4	-0,060	0,290	0,4	0,127	0,027
0,6	-0,130	-0,013	0,000	0,6	-0,124	0,297	0,6	0,114	0,048
0,8	-0,125	-0,017	-0,001	0,8	-0,193	0,301	0,8	0,087	0,069
1,0	-0,119	-0,020	-0,001	1,0	-0,259	0,299	1,0	0,055	0,088
1,2	-0,112	-0,023	-0,001	1,2	-0,317	0,291	1,2	0,024	0,103
1,4	-0,105	-0,025	-0,002	1,4	-0,364	0,279	1,4	-0,005	0,113
1,6	-0,098	-0,027	-0,002	1,6	-0,400	0,263	1,6	-0,028	0,120
1,8	-0,090	-0,028	-0,002	1,8	-0,427	0,246	1,8	-0,048	0,123
2,0	-0,082	-0,029	-0,003	2,0	-0,445	0,228	2,0	-0,065	0,125
2,2	-0,073	-0,030	-0,003	2,2	-0,459	0,211	2,2	-0,074	0,125
2,4	-0,064	-0,030	-0,003	2,4	-0,468	0,194	2,4	-0,083	0,125
2,6	-0,055	-0,029	-0,003	2,6	-0,475	0,178	2,6	-0,090	0,123
2,8	-0,046	-0,028	-0,002	2,8	-0,480	0,164	2,8	-0,095	0,122
3,0	-0,038	-0,027	-0,002	3,0	-0,484	0,150	3,0	-0,099	0,120
3,2	-0,031	-0,025	-0,002	3,2	-0,487	0,137	3,2	-0,102	0,118
3,4	-0,025	-0,024	-0,001	3,4	-0,489	0,125	3,4	-0,104	0,116
3,6	-0,021	-0,022	-0,001	3,6	-0,491	0,114	3,6	-0,105	0,115
3,8	-0,017	-0,020	-0,001	3,8	-0,493	0,103	3,8	-0,107	0,113
4,0	-0,015	-0,018	0,000	4,0	-0,495	0,094	4,0	-0,108	0,111
4,2	-0,014	-0,017	0,000	4,2	-0,497	0,085	4,2	-0,109	0,110
4,4	-0,013	-0,016	0,001	4,4	-0,498	0,076	4,4	-0,109	0,108
4,6	-0,012	-0,015	0,001	4,6	-0,499	0,069	4,6	-0,110	0,107
4,8	-0,012	-0,014	0,001	4,8	-0,500	0,062	4,8	-0,110	0,106
5,0	-0,012	-0,013	0,001	5,0	-0,501	0,055	5,0	-0,111	0,105
5,2	-0,012	-0,013	0,001	5,2	-0,502	0,049	5,2	-0,111	0,104
5,4	-0,012	-0,012	0,001	5,4	-0,502	0,044	5,4	-0,111	0,103
5,6	-0,012	-0,012	0,001	5,6	-0,503	0,039	5,6	-0,112	0,102
5,8	-0,012	-0,012	0,001	5,8	-0,503	0,034	5,8	-0,112	0,101
6,0	-0,012	-0,012	0,001	6,0	-0,503	0,030	6,0	-0,113	0,100
6,2	-0,012	-0,011	0,001	6,2	-0,503	0,026	6,2	-0,113	0,100
6,4	-0,011	-0,011	0,001	6,4	-0,503	0,023	6,4	-0,113	0,099
6,6	-0,011	-0,011	0,001	6,6	-0,503	0,020	6,6	-0,114	0,099
6,8	-0,011	-0,011	0,001	6,8	-0,503	0,017	6,8	-0,114	0,098
7,0	-0,011	-0,011	0,001	7,0	-0,503	0,015	7,0	-0,115	0,098
7,2	-0,010	-0,011	0,000	7,2	-0,502	0,013	7,2	-0,116	0,097
7,4	-0,010	-0,011	0,000	7,4	-0,502	0,011	7,4	-0,116	0,097
7,6	-0,010	-0,011	0,000	7,6	-0,502	0,010	7,6	-0,117	0,097
7,8	-0,009	-0,012	0,000	7,8	-0,501	0,008	7,8	-0,117	0,096
8,0	-0,009	-0,011	0,000	8,0	-0,501	0,007	8,0	-0,118	0,096
8,2	-0,008	-0,010	0,000	8,2	-0,501	0,006	8,2	-0,119	0,096
8,4	-0,008	-0,010	0,000	8,4	-0,501	0,005	8,4	-0,119	0,096
8,6	-0,008	-0,010	0,000	8,6	-0,501	0,004	8,6	-0,120	0,096
8,8	-0,007	-0,010	0,000	8,8	-0,501	0,004	8,8	-0,121	0,096
9,0	-0,007	-0,009	0,000	9,0	-0,501	0,003	9,0	-0,121	0,096
10,0	-0,006	-0,008	0,000	10,0	-0,501	0,001	10,0	-0,125	0,095

R	$K_{22}^{(+)}$	N_2	\bar{K}_{22}	R	$K_{23}^{(-)}$	$Q_{23}^{(-)}$	R	$K_{24}^{(+)}$	$Q_{24}^{(+)}$	\bar{K}_{24}
0,2	49,846	24,587	0,254	0,2	0,065	-0,033	0,2	-12,660	0,042	0,125
0,4	12,522	11,816	0,266	0,4	0,072	-0,023	0,4	-4,790	0,093	0,130
0,6	5,598	7,534	0,286	0,6	0,070	-0,010	0,6	-0,570	0,132	0,139
0,8	3,182	5,445	0,312	0,8	0,059	0,003	0,8	0,059	0,153	0,150
1,0	2,061	4,271	0,341	1,0	0,046	0,016	1,0	0,100	0,153	0,161
1,2	1,446	3,567	0,366	1,2	0,030	0,027	1,2	0,027	0,134	0,169
1,4	1,075	3,133	0,386	1,4	0,015	0,036	1,4	-0,059	0,104	0,173
1,6	0,839	2,862	0,397	1,6	0,002	0,043	1,6	-0,107	0,071	0,174
1,8	0,683	2,693	0,402	1,8	-0,007	0,048	1,8	-0,121	0,040	0,173
2,0	0,578	2,589	0,402	2,0	-0,016	0,051	2,0	-0,115	0,013	0,169
2,2	0,504	2,528	0,397	2,2	-0,023	0,053	2,2	-0,100	-0,009	0,165
2,4	0,451	2,497	0,390	2,4	-0,029	0,055	2,4	-0,083	-0,027	0,160
2,6	0,412	2,486	0,381	2,6	-0,033	0,055	2,6	-0,066	-0,041	0,156
2,8	0,382	2,489	0,371	2,8	-0,037	0,056	2,8	-0,051	-0,052	0,151
3,0	0,359	2,501	0,362	3,0	-0,039	0,056	3,0	-0,038	-0,061	0,146
3,2	0,341	2,520	0,352	3,2	-0,041	0,056	3,2	-0,027	-0,068	0,142
3,4	0,326	2,543	0,343	3,4	-0,043	0,055	3,4	-0,017	-0,074	0,138
3,6	0,314	2,569	0,334	3,6	-0,044	0,055	3,6	-0,009	-0,078	0,134
3,8	0,304	2,597	0,325	3,8	-0,045	0,055	3,8	-0,003	-0,082	0,130
4,0	0,296	2,627	0,318	4,0	-0,046	0,054	4,0	0,003	-0,085	0,127
4,2	0,289	2,656	0,311	4,2	-0,047	0,054	4,2	0,008	-0,087	0,124
4,4	0,283	2,685	0,304	4,4	-0,047	0,053	4,4	0,012	-0,089	0,121
4,6	0,278	2,714	0,298	4,6	-0,048	0,053	4,6	0,016	-0,091	0,118
4,8	0,274	2,742	0,293	4,8	-0,048	0,052	4,8	0,019	-0,092	0,116
5,0	0,270	2,769	0,288	5,0	-0,048	0,052	5,0	0,022	-0,094	0,113
5,2	0,267	2,795	0,284	5,2	-0,049	0,052	5,2	0,025	-0,095	0,111
5,4	0,264	2,820	0,280	5,4	-0,049	0,051	5,4	0,027	-0,095	0,109
5,6	0,262	2,844	0,276	5,6	-0,049	0,051	5,6	0,029	-0,096	0,107
5,8	0,260	2,866	0,273	5,8	-0,049	0,050	5,8	0,031	-0,096	0,106
6,0	0,258	2,888	0,270	6,0	-0,049	0,050	6,0	0,032	-0,097	0,104
6,2	0,257	2,908	0,268	6,2	-0,049	0,050	6,2	0,034	-0,097	0,103
6,4	0,256	2,927	0,265	6,4	-0,049	0,050	6,4	0,035	-0,098	0,101
6,6	0,255	2,945	0,263	6,6	-0,050	0,049	6,6	0,036	-0,098	0,100
6,8	0,254	2,963	0,261	6,8	-0,050	0,049	6,8	0,038	-0,098	0,098
7,0	0,253	2,979	0,260	7,0	-0,050	0,049	7,0	0,039	-0,098	0,098
7,2	0,252	2,994	0,259	7,2	-0,050	0,049	7,2	0,039	-0,098	0,096
7,4	0,252	3,008	0,257	7,4	-0,050	0,048	7,4	0,040	-0,098	0,095
7,6	0,252	3,022	0,256	7,6	-0,050	0,048	7,6	0,041	-0,098	0,095
7,8	0,251	3,035	0,255	7,8	-0,050	0,048	7,8	0,042	-0,098	0,094
8,0	0,250	3,047	0,254	8,0	-0,050	0,048	8,0	0,043	-0,098	0,093
8,2	0,250	3,058	0,254	8,2	-0,051	0,048	8,2	0,043	-0,098	0,092
8,4	0,250	3,069	0,253	8,4	-0,051	0,048	8,4	0,044	-0,098	0,091
8,6	0,250	3,079	0,253	8,6	-0,051	0,048	8,6	0,045	-0,098	0,091
8,8	0,250	3,089	0,252	8,8	-0,051	0,047	8,8	0,045	-0,098	0,090
9,0	0,250	3,098	0,252	9,0	-0,051	0,047	9,0	0,046	-0,098	0,089
10,0	0,249	3,139	0,250	10,0	-0,052	0,047	10,0	0,047	-0,098	0,087

R	$K_{25}^{(-)}$	$Q_{25}^{(-)}$	R	$K_{26}^{(-)}$	$Q_{26}^{(-)}$	R	$K_{27}^{(+)}$	$Q_{27}^{(-)}$	\tilde{K}_{27}
0,2	-5,118	-0,170	0,2	0,045	-0,019	0,2	-4,974	0,022	0,071
0,4	-2,560	-0,171	0,4	0,043	-0,014	0,4	-1,844	0,043	0,074
0,6	-1,726	-0,171	0,6	0,040	-0,008	0,6	-0,169	0,062	0,080
0,8	-0,131	-0,171	0,8	0,033	0,001	0,8	0,051	0,071	0,086
1,0	-0,107	-0,172	1,0	0,025	0,009	1,0	0,050	0,070	0,092
1,2	-0,910	-0,173	1,2	0,016	0,016	1,2	0,004	0,059	0,096
1,4	-0,807	-0,175	1,4	0,007	0,022	1,4	-0,034	0,044	0,098
1,6	-0,738	-0,178	1,6	-0,001	0,026	1,6	-0,053	0,028	0,098
1,8	-0,692	-0,183	1,8	-0,008	0,029	1,8	-0,057	0,013	0,097
2,0	-0,660	-0,188	2,0	-0,013	0,032	2,0	-0,052	0,000	0,095
2,2	-0,639	-0,194	2,2	-0,017	0,033	2,2	-0,045	-0,010	0,092
2,4	-0,623	-0,201	2,4	-0,021	0,034	2,4	-0,036	-0,019	0,090
2,6	-0,610	-0,208	2,6	-0,024	0,035	2,6	-0,028	-0,026	0,087
2,8	-0,597	-0,214	2,8	-0,026	0,036	2,8	-0,021	-0,031	0,084
3,0	-0,582	-0,220	3,0	-0,027	0,036	3,0	-0,015	-0,035	0,081
3,2	-0,567	-0,225	3,2	-0,029	0,036	3,2	-0,010	-0,039	0,078
3,4	-0,549	-0,228	3,4	-0,029	0,036	3,4	-0,006	-0,041	0,076
3,6	-0,530	-0,230	3,6	-0,030	0,036	3,6	-0,002	-0,044	0,073
3,8	-0,510	-0,231	3,8	-0,031	0,035	3,8	0,001	-0,045	0,071
4,0	-0,490	-0,230	4,0	-0,031	0,035	4,0	0,003	-0,047	0,069
4,2	-0,470	-0,229	4,2	-0,032	0,035	4,2	0,006	-0,048	0,067
4,4	-0,451	-0,226	4,4	-0,032	0,035	4,4	0,008	-0,049	0,066
4,6	-0,433	-0,222	4,6	-0,032	0,035	4,6	0,009	-0,050	0,064
4,8	-0,415	-0,218	4,8	-0,032	0,034	4,8	0,011	-0,050	0,063
5,0	-0,399	-0,214	5,0	-0,032	0,034	5,0	0,012	-0,051	0,061
5,2	-0,383	-0,209	5,2	-0,032	0,034	5,2	0,013	-0,051	0,060
5,4	-0,368	-0,204	5,4	-0,032	0,034	5,4	0,014	-0,052	0,059
5,6	-0,353	-0,199	5,6	-0,032	0,033	5,6	0,015	-0,052	0,057
5,8	-0,340	-0,193	5,8	-0,032	0,033	5,8	0,016	-0,052	0,056
6,0	-0,327	-0,188	6,0	-0,032	0,033	6,0	0,017	-0,052	0,055
6,2	-0,315	-0,183	6,2	-0,032	0,033	6,2	0,017	-0,053	0,054
6,4	-0,304	-0,178	6,4	-0,032	0,033	6,4	0,018	-0,053	0,053
6,6	-0,293	-0,173	6,6	-0,032	0,032	6,6	0,019	-0,053	0,053
6,8	-0,283	-0,168	6,8	-0,032	0,032	6,8	0,019	-0,053	0,052
7,0	-0,273	-0,164	7,0	-0,032	0,032	7,0	0,019	-0,053	0,051
7,2	-0,264	-0,159	7,2	-0,032	0,032	7,2	0,020	-0,053	0,050
7,4	-0,256	-0,155	7,4	-0,032	0,032	7,4	0,020	-0,053	0,050
7,6	-0,248	-0,151	7,6	-0,032	0,032	7,6	0,021	-0,053	0,049
7,8	-0,241	-0,147	7,8	-0,032	0,031	7,8	0,021	-0,053	0,049
8,0	-0,234	-0,143	8,0	-0,032	0,031	8,0	0,021	-0,053	0,048
8,2	-0,227	-0,139	8,2	-0,032	0,031	8,2	0,022	-0,053	0,047
8,4	-0,221	-0,136	8,4	-0,032	0,031	8,4	0,022	-0,053	0,047
8,6	-0,215	-0,133	8,6	-0,032	0,031	8,6	0,022	-0,053	0,046
8,8	-0,210	-0,130	8,8	-0,032	0,031	8,8	0,022	-0,053	0,046
9,0	-0,205	-0,127	9,0	-0,032	0,031	9,0	0,022	-0,053	0,046
10,0	-0,184	-0,114	10,0	-0,032	0,030	10,0	0,023	-0,052	0,044

R	$K_{28}^{(-)}$	$Q_{28}^{(-)}$	R	$K_{29}^{(+)}$	$Q_{29}^{(+)}$	\bar{K}_{29}	R	$K_{30}^{(+)}$	$Q_{30}^{(+)}$	\bar{K}_{30}
0,2	-2,474	-0,083	0,2	0,062	0,001	0,000	0,2	4,447	0,063	0,199
0,4	-1,258	-0,085	0,4	0,058	0,003	0,000	0,4	2,030	0,083	0,175
0,6	-0,862	-0,086	0,6	0,056	0,004	0,000	0,6	0,670	0,088	0,154
0,8	-0,669	-0,089	0,8	0,055	0,005	0,000	0,8	0,397	0,091	0,136
1,0	-0,557	-0,091	1,0	0,053	0,007	0,000	1,0	0,236	0,087	0,122
1,2	-0,485	-0,093	1,2	0,053	0,008	0,000	1,2	0,187	0,084	0,110
1,4	-0,436	-0,096	1,4	0,052	0,009	0,001	1,4	0,149	0,081	0,101
1,6	-0,401	-0,098	1,6	0,052	0,010	0,001	1,6	0,125	0,079	0,093
1,8	-0,375	-0,101	1,8	0,053	0,012	0,001	1,8	0,108	0,077	0,086
2,0	-0,355	-0,103	2,0	0,054	0,013	0,001	2,0	0,095	0,074	0,080
2,2	-0,337	-0,106	2,2	0,056	0,015	0,002	2,2	0,085	0,072	0,075
2,4	-0,320	-0,107	2,4	0,058	0,017	0,002	2,4	0,078	0,070	0,071
2,6	-0,303	-0,108	2,6	0,061	0,019	0,003	2,6	0,072	0,069	0,067
2,8	-0,284	-0,108	2,8	0,064	0,021	0,003	2,8	0,067	0,067	0,064
3,0	-0,264	-0,106	3,0	0,068	0,023	0,004	3,0	0,063	0,066	0,061
3,2	-0,245	-0,103	3,2	0,072	0,026	0,005	3,2	0,059	0,064	0,059
3,4	-0,226	-0,099	3,4	0,076	0,029	0,006	3,4	0,057	0,063	0,056
3,6	-0,209	-0,094	3,6	0,081	0,032	0,007	3,6	0,054	0,062	0,054
3,8	-0,194	-0,089	3,8	0,086	0,036	0,008	3,8	0,052	0,061	0,053
4,0	-0,182	-0,083	4,0	0,091	0,039	0,009	4,0	0,050	0,060	0,051
4,2	-0,172	-0,077	4,2	0,097	0,043	0,011	4,2	0,049	0,059	0,050
4,4	-0,163	-0,071	4,4	0,103	0,048	0,013	4,4	0,050	0,059	0,048
4,6	-0,157	-0,065	4,6	0,110	0,052	0,015	4,6	0,045	0,058	0,047
4,8	-0,151	-0,059	4,8	0,116	0,057	0,017	4,8	0,045	0,057	0,046
5,0	-0,147	-0,053	5,0	0,122	0,062	0,019	5,0	0,043	0,056	0,045
5,2	-0,143	-0,048	5,2	0,129	0,067	0,022	5,2	0,043	0,056	0,044
5,4	-0,140	-0,044	5,4	0,135	0,073	0,025	5,4	0,042	0,055	0,043
5,6	-0,137	-0,039	5,6	0,141	0,078	0,028	5,6	0,041	0,055	0,042
5,8	-0,135	-0,035	5,8	0,146	0,084	0,031	5,8	0,041	0,054	0,042
6,0	-0,132	-0,032	6,0	0,151	0,089	0,034	6,0	0,040	0,054	0,041
6,2	-0,130	-0,028	6,2	0,154	0,095	0,038	6,2	0,040	0,053	0,041
6,4	-0,128	-0,025	6,4	0,157	0,100	0,041	6,4	0,039	0,053	0,040
6,6	-0,126	-0,022	6,6	0,159	0,105	0,045	6,6	0,039	0,052	0,040
6,8	-0,125	-0,020	6,8	0,160	0,110	0,048	6,8	0,039	0,052	0,039
7,0	-0,123	-0,018	7,0	0,161	0,115	0,052	7,0	0,038	0,052	0,039
7,2	-0,121	-0,015	7,2	0,160	0,119	0,055	7,2	0,038	0,051	0,038
7,4	-0,120	-0,013	7,4	0,159	0,123	0,058	7,4	0,038	0,051	0,038
7,6	-0,118	-0,012	7,6	0,158	0,126	0,061	7,6	0,038	0,051	0,038
7,8	-0,116	-0,010	7,8	0,156	0,129	0,064	7,8	0,037	0,050	0,038
8,0	-0,115	-0,009	8,0	0,154	0,131	0,066	8,0	0,037	0,050	0,037
8,2	-0,113	-0,007	8,2	0,152	0,133	0,069	8,2	0,036	0,050	0,037
8,4	-0,112	-0,006	8,4	0,150	0,135	0,071	8,4	0,036	0,050	0,037
8,6	-0,110	-0,005	8,6	0,147	0,136	0,073	8,6	0,036	0,050	0,037
8,8	-0,109	-0,004	8,8	0,145	0,137	0,074	8,8	0,036	0,050	0,037
9,0	-0,107	-0,003	9,0	0,143	0,138	0,076	9,0	0,036	0,050	0,036
10,0	-0,099	-0,001	10,0	0,134	0,138	0,081	10,0	0,036	0,050	0,036

R	$K_{31}^{(+)}$	$Q_{31}^{(+)}$	\bar{R}_{31}	R	$K_{32}^{(-)}$	$Q_{32}^{(-)}$	R	$K_{33}^{(+)}$	N_3	\bar{R}_{33}
0,2	17,359	0,153	0,138	0,2	0,637	0,033	0,2	0,086	11,588	0,107
0,4	7,618	0,191	0,128	0,4	0,182	0,023	0,4	0,126	14,351	0,102
0,6	2,195	0,200	0,119	0,6	0,002	0,010	0,6	0,138	17,232	0,096
0,8	1,090	0,198	0,111	0,8	-0,094	-0,004	0,8	0,136	20,167	0,091
1,0	0,686	0,193	0,104	1,0	-0,144	-0,017	1,0	0,129	23,131	0,087
1,2	0,489	0,186	0,098	1,2	-0,164	-0,028	1,2	0,121	26,115	0,083
1,4	0,377	0,180	0,093	1,4	-0,168	-0,037	1,4	0,113	29,110	0,080
1,6	0,304	0,173	0,088	1,6	-0,163	-0,044	1,6	0,105	32,110	0,077
1,8	0,254	0,167	0,084	1,8	-0,154	-0,049	1,8	0,099	35,112	0,074
2,0	0,218	0,162	0,080	2,0	-0,146	-0,052	2,0	0,092	38,111	0,071
2,2	0,191	0,156	0,077	2,2	-0,138	-0,054	2,2	0,087	41,103	0,069
2,4	0,169	0,152	0,074	2,4	-0,131	-0,055	2,4	0,082	44,085	0,067
2,6	0,152	0,147	0,071	2,6	-0,124	-0,056	2,6	0,078	47,053	0,065
2,8	0,138	0,143	0,069	2,8	-0,119	-0,056	2,8	0,074	50,003	0,063
3,0	0,126	0,139	0,067	3,0	-0,114	-0,056	3,0	0,070	52,933	0,062
3,2	0,116	0,135	0,065	3,2	-0,110	-0,056	3,2	0,067	55,838	0,060
3,4	0,108	0,132	0,063	3,4	-0,106	-0,056	3,4	0,065	58,716	0,059
3,6	0,100	0,129	0,061	3,6	-0,102	-0,056	3,6	0,062	61,564	0,057
3,8	0,094	0,126	0,059	3,8	-0,099	-0,055	3,8	0,060	64,380	0,056
4,0	0,088	0,123	0,058	4,0	-0,097	-0,055	4,0	0,058	67,159	0,055
4,2	0,083	0,121	0,056	4,2	-0,094	-0,054	4,2	0,056	69,902	0,054
4,4	0,079	0,118	0,055	4,4	-0,092	-0,054	4,4	0,054	72,604	0,053
4,6	0,075	0,116	0,054	4,6	-0,090	-0,053	4,6	0,053	75,263	0,052
4,8	0,072	0,113	0,053	4,8	-0,088	-0,053	4,8	0,051	77,879	0,051
5,0	0,069	0,111	0,051	5,0	-0,086	-0,053	5,0	0,050	80,449	0,050
5,2	0,066	0,109	0,050	5,2	-0,085	-0,052	5,2	0,049	82,971	0,049
5,4	0,063	0,107	0,049	5,4	-0,084	-0,052	5,4	0,048	85,445	0,048
5,6	0,061	0,106	0,049	5,6	-0,082	-0,051	5,6	0,047	87,869	0,047
5,8	0,059	0,104	0,048	5,8	-0,081	-0,051	5,8	0,046	90,243	0,047
6,0	0,057	0,102	0,047	6,0	-0,080	-0,051	6,0	0,045	92,564	0,046
6,2	0,055	0,101	0,046	6,2	-0,079	-0,050	6,2	0,044	94,834	0,045
6,4	0,053	0,099	0,046	6,4	-0,078	-0,050	6,4	0,043	97,051	0,045
6,6	0,052	0,098	0,045	6,6	-0,077	-0,050	6,6	0,043	99,215	0,044
6,8	0,050	0,096	0,044	6,8	-0,077	-0,050	6,8	0,042	101,327	0,043
7,0	0,049	0,095	0,044	7,0	-0,076	-0,049	7,0	0,042	103,386	0,043
7,2	0,048	0,094	0,043	7,2	-0,076	-0,049	7,2	0,041	105,393	0,042
7,4	0,047	0,093	0,043	7,4	-0,075	-0,049	7,4	0,041	107,348	0,042
7,6	0,046	0,091	0,042	7,6	-0,074	-0,049	7,6	0,041	109,251	0,041
7,8	0,045	0,090	0,042	7,8	-0,074	-0,049	7,8	0,040	111,104	0,041
8,0	0,044	0,089	0,041	8,0	-0,074	-0,049	8,0	0,040	112,908	0,040
8,2	0,043	0,088	0,041	8,2	-0,073	-0,048	8,2	0,040	114,663	0,040
8,4	0,043	0,087	0,040	8,4	-0,073	-0,048	8,4	0,039	116,371	0,040
8,6	0,042	0,086	0,040	8,6	-0,073	-0,048	8,6	0,039	118,032	0,039
8,8	0,041	0,085	0,040	8,8	-0,072	-0,048	8,8	0,039	119,649	0,039
9,0	0,041	0,084	0,039	9,0	-0,072	-0,048	9,0	0,039	121,223	0,039
10,0	0,038	0,080	0,038	10,0	-0,071	-0,048	10,0	0,038	128,497	0,037

R	$K_{34}^{(-)}$	$Q_{34}^{(-)}$	R	$K_{35}^{(+)}$	$Q_{35}^{(+)}$	\bar{K}_{35}	R	$K_{39}^{(-)}$	$Q_{39}^{(-)}$
0,2	-0,151	-0,006	0,2	0,020	0,001	0,000	0,2	-0,001	0,000
0,4	-0,250	-0,020	0,4	0,018	0,001	0,000	0,4	-0,001	0,000
0,6	-0,306	-0,035	0,6	0,016	0,002	0,000	0,6	-0,002	0,000
0,8	-0,328	-0,051	0,8	0,014	0,002	0,000	0,8	-0,002	0,000
1,0	-0,322	-0,065	1,0	0,012	0,002	0,000	1,0	-0,002	0,000
1,2	-0,298	-0,075	1,2	0,010	0,002	0,000	1,2	-0,003	0,000
1,4	-0,269	-0,082	1,4	0,009	0,002	0,000	1,4	-0,003	0,000
1,6	-0,241	-0,086	1,6	0,008	0,002	0,000	1,6	-0,003	-0,001
1,8	-0,217	-0,088	1,8	0,007	0,002	0,000	1,8	-0,003	-0,001
2,0	-0,198	-0,089	2,0	0,007	0,002	0,000	2,0	-0,003	-0,001
2,2	-0,182	-0,089	2,2	0,007	0,002	0,000	2,2	-0,003	-0,001
2,4	-0,169	-0,089	2,4	0,007	0,003	0,000	2,4	-0,003	-0,001
2,6	-0,158	-0,088	2,6	0,007	0,003	0,000	2,6	-0,003	-0,001
2,8	-0,149	-0,087	2,8	0,007	0,003	0,000	2,8	-0,003	-0,001
3,0	-0,141	-0,086	3,0	0,007	0,003	0,000	3,0	-0,002	-0,001
3,2	-0,134	-0,085	3,2	0,007	0,003	0,000	3,2	-0,002	-0,001
3,4	-0,128	-0,084	3,4	0,007	0,004	0,001	3,4	-0,002	-0,001
3,6	-0,123	-0,083	3,6	0,007	0,004	0,001	3,6	-0,002	-0,001
3,8	-0,119	-0,082	3,8	0,007	0,004	0,001	3,8	-0,001	-0,001
4,0	-0,115	-0,081	4,0	0,007	0,004	0,001	4,0	-0,001	-0,001
4,2	-0,111	-0,080	4,2	0,006	0,004	0,001	4,2	-0,001	-0,001
4,4	-0,108	-0,079	4,4	0,005	0,004	0,001	4,4	0,000	-0,001
4,6	-0,105	-0,078	4,6	0,005	0,004	0,001	4,6	0,000	0,000
4,8	-0,102	-0,077	4,8	0,004	0,004	0,001	4,8	0,000	0,000
5,0	-0,099	-0,076	5,0	0,003	0,004	0,001	5,0	0,000	0,000
5,2	-0,097	-0,076	5,2	0,003	0,003	0,000	5,2	0,001	0,000
5,4	-0,095	-0,075	5,4	0,002	0,003	0,000	5,4	0,001	0,000
5,6	-0,093	-0,074	5,6	0,002	0,003	0,000	5,6	0,001	0,000
5,8	-0,091	-0,073	5,8	0,002	0,002	0,000	5,8	0,001	0,000
6,0	-0,090	-0,073	6,0	0,001	0,002	0,000	6,0	0,001	0,001
6,2	-0,088	-0,072	6,2	0,001	0,002	0,000	6,2	0,001	0,001
6,4	-0,087	-0,072	6,4	0,001	0,001	0,000	6,4	0,001	0,001
6,6	-0,085	-0,071	6,6	0,001	0,001	-0,001	6,6	0,001	0,001
6,8	-0,084	-0,071	6,8	0,001	0,001	-0,001	6,8	0,001	0,001
7,0	-0,083	-0,070	7,0	0,001	0,000	-0,001	7,0	0,001	0,001
7,2	-0,082	-0,070	7,2	0,000	-0,000	-0,001	7,2	0,001	0,001
7,4	-0,081	-0,069	7,4	0,000	-0,000	-0,001	7,4	0,001	0,001
7,6	-0,080	-0,069	7,6	0,000	-0,001	-0,001	7,6	0,001	0,001
7,8	-0,080	-0,068	7,8	0,000	-0,001	-0,001	7,8	0,001	0,001
8,0	-0,079	-0,068	8,0	0,000	-0,001	-0,001	8,0	0,001	0,001
8,2	-0,078	-0,068	8,2	0,000	-0,001	-0,001	8,2	0,001	0,001
8,4	-0,077	-0,067	8,4	0,000	-0,001	-0,001	8,4	0,001	0,001
8,6	-0,077	-0,067	8,6	0,000	-0,001	-0,001	8,6	0,000	0,001
8,8	-0,076	-0,067	8,8	0,000	-0,002	-0,001	8,8	0,000	0,001
9,0	-0,076	-0,067	9,0	0,000	-0,002	-0,001	9,0	0,000	0,001
10,0	-0,074	-0,065	10,0	0,000	-0,002	-0,001	10,0	0,000	0,001

R	$K_{40}^{(-)}$	$Q_{40}^{(-)}$	R	$K_{41}^{(-)}$	$Q_{41}^{(-)}$	R	$K_{42}^{(+)}$	$Q_{42}^{(+)}$	K_{42}
0,2	-0,007	0,132	0,2	0,104	0,128	0,2	12,307	-0,029	0,125
0,4	-0,082	0,130	0,4	0,052	0,138	0,4	4,720	-0,080	0,130
0,6	-0,124	0,124	0,6	0,030	0,148	0,6	0,622	-0,129	0,139
0,8	-0,165	0,114	0,8	0,000	0,155	0,8	0,013	-0,151	0,150
1,0	-0,200	0,100	1,0	-0,030	0,159	1,0	0,040	-0,150	0,161
1,2	-0,225	0,083	1,2	-0,058	0,159	1,2	0,033	-0,132	0,168
1,4	-0,241	0,064	1,4	-0,080	0,155	1,4	0,110	-0,102	0,173
1,6	-0,250	0,047	1,6	-0,098	0,149	1,6	0,156	-0,070	0,174
1,8	-0,254	0,030	1,8	-0,110	0,142	1,8	0,175	-0,039	0,173
2,0	-0,254	0,016	2,0	-0,119	0,134	2,0	0,178	-0,012	0,169
2,2	-0,252	0,004	2,2	-0,126	0,127	2,2	0,173	0,009	0,165
2,4	-0,249	-0,007	2,4	-0,130	0,120	2,4	0,166	0,027	0,160
2,6	-0,246	-0,016	2,6	-0,133	0,114	2,6	0,158	0,041	0,156
2,8	-0,243	-0,025	2,8	-0,135	0,107	2,8	0,151	0,052	0,151
3,0	-0,239	-0,032	3,0	-0,137	0,102	3,0	0,144	0,061	0,146
3,2	-0,236	-0,038	3,2	-0,138	0,096	3,2	0,139	0,068	0,142
3,4	-0,233	-0,044	3,4	-0,139	0,091	3,4	0,134	0,074	0,138
3,6	-0,230	-0,049	3,6	-0,139	0,087	3,6	0,130	0,078	0,134
3,8	-0,228	-0,054	3,8	-0,139	0,082	3,8	0,126	0,082	0,130
4,0	-0,225	-0,062	4,0	-0,139	0,078	4,0	0,123	0,085	0,127
4,2	-0,222	-0,062	4,2	-0,139	0,074	4,2	0,120	0,088	0,124
4,4	-0,220	-0,065	4,4	-0,139	0,071	4,4	0,117	0,090	0,121
4,6	-0,218	-0,068	4,6	-0,139	0,067	4,6	0,115	0,091	0,118
4,8	-0,216	-0,071	4,8	-0,139	0,064	4,8	0,113	0,090	0,116
5,0	-0,213	-0,074	5,0	-0,139	0,061	5,0	0,111	0,094	0,113
5,2	-0,211	-0,076	5,2	-0,139	0,058	5,2	0,109	0,095	0,111
5,4	-0,209	-0,078	5,4	-0,139	0,055	5,4	0,107	0,096	0,109
5,6	-0,207	-0,080	5,6	-0,139	0,052	5,6	0,105	0,096	0,107
5,8	-0,205	-0,082	5,8	-0,139	0,050	5,8	0,104	0,098	0,106
6,0	-0,203	-0,084	6,0	-0,138	0,047	6,0	0,102	0,097	0,104
6,2	-0,201	-0,085	6,2	-0,138	0,045	6,2	0,101	0,097	0,103
6,4	-0,199	-0,086	6,4	-0,138	0,042	6,4	0,100	0,098	0,101
6,6	-0,197	-0,088	6,6	-0,138	0,040	6,6	0,099	0,098	0,100
6,8	-0,195	-0,089	6,8	-0,138	0,038	6,8	0,098	0,098	0,099
7,0	-0,193	-0,090	7,0	-0,138	0,036	7,0	0,097	0,098	0,098
7,2	-0,191	-0,090	7,2	-0,138	0,034	7,2	0,096	0,098	0,096
7,4	-0,189	-0,091	7,4	-0,138	0,032	7,4	0,095	0,098	0,095
7,6	-0,188	-0,092	7,6	-0,138	0,031	7,6	0,094	0,099	0,095
7,8	-0,186	-0,092	7,8	-0,138	0,029	7,8	0,093	0,099	0,094
8,0	-0,185	-0,093	8,0	-0,138	0,027	8,0	0,093	0,099	0,093
8,2	-0,184	-0,093	8,2	-0,138	0,026	8,2	0,091	0,099	0,092
8,4	-0,182	-0,094	8,4	-0,138	0,024	8,4	0,091	0,099	0,091
8,6	-0,180	-0,094	8,6	-0,138	0,023	8,6	0,091	0,099	0,091
8,8	-0,179	-0,094	8,8	-0,138	0,022	8,8	0,090	0,098	0,090
9,0	-0,179	-0,095	9,0	-0,137	0,020	9,0	0,089	0,098	0,089
10,0	-0,174	-0,096	10,0	-0,137	0,015	10,0	0,087	0,098	0,087

R	$K_{43}^{(-)}$	$Q_{43}^{(-)}$	R	$K_{44}^{(+)}$	N_4	\tilde{K}_{44}	R	$K_{45}^{(-)}$	$Q_{45}^{(-)}$
0,2	0,093	0,006	0,2	49,960	83,165	0,112	0,2	0,028	0,001
0,4	0,096	0,020	0,4	12,529	40,328	0,116	0,4	0,048	0,004
0,6	0,089	0,036	0,6	5,612	26,170	0,121	0,6	0,068	0,008
0,8	0,072	0,051	0,8	3,198	19,456	0,127	0,8	0,085	0,013
1,0	0,052	0,065	1,0	2,069	15,868	0,133	1,0	0,094	0,018
1,2	0,033	0,075	1,2	1,441	13,596	0,135	1,2	0,094	0,023
1,4	0,015	0,082	1,4	1,054	12,845	0,138	1,4	0,087	0,026
1,6	0,000	0,087	1,6	0,802	12,344	0,137	1,6	0,073	0,027
1,8	-0,011	0,089	1,8	0,633	12,182	0,135	1,8	0,054	0,026
2,0	-0,020	0,090	2,0	0,516	12,234	0,132	2,0	0,033	0,024
2,2	-0,027	0,090	2,2	0,432	12,424	0,129	2,2	0,010	0,020
2,4	-0,033	0,090	2,4	0,370	12,705	0,126	2,4	-0,012	0,015
2,6	-0,037	0,089	2,6	0,323	13,047	0,123	2,6	-0,032	0,009
2,8	-0,040	0,088	2,8	0,286	13,430	0,120	2,8	-0,050	0,002
3,0	-0,043	0,087	3,0	0,257	13,841	0,117	3,0	-0,065	-0,004
3,2	-0,045	0,086	3,2	0,233	14,271	0,114	3,2	-0,075	-0,011
3,4	-0,046	0,085	3,4	0,214	14,714	0,111	3,4	-0,082	-0,017
3,6	-0,047	0,084	3,6	0,197	15,164	0,109	3,6	-0,086	-0,023
3,8	-0,048	0,083	3,8	0,184	15,619	0,107	3,8	-0,087	-0,028
4,0	-0,049	0,082	4,0	0,172	16,076	0,105	4,0	-0,085	-0,032
4,2	-0,050	0,081	4,2	0,161	16,533	0,102	4,2	-0,083	-0,036
4,4	-0,050	0,080	4,4	0,153	16,988	0,101	4,4	-0,079	-0,038
4,6	-0,050	0,079	4,6	0,145	17,441	0,099	4,6	-0,075	-0,040
4,8	-0,051	0,079	4,8	0,138	17,890	0,097	4,8	-0,070	-0,041
5,0	-0,051	0,078	5,0	0,132	18,335	0,095	5,0	-0,066	-0,042
5,2	-0,051	0,077	5,2	0,127	18,775	0,094	5,2	-0,061	-0,042
5,4	-0,051	0,076	5,4	0,122	19,210	0,093	5,4	-0,057	-0,042
5,6	-0,051	0,076	5,6	0,117	19,638	0,091	5,6	-0,053	-0,041
5,8	-0,051	0,075	5,8	0,114	20,061	0,090	5,8	-0,049	-0,040
6,0	-0,051	0,074	6,0	0,110	20,477	0,089	6,0	-0,045	-0,040
6,2	-0,051	0,074	6,2	0,107	20,887	0,087	6,2	-0,042	-0,038
6,4	-0,052	0,073	6,4	0,104	21,289	0,086	6,4	-0,039	-0,037
6,6	-0,052	0,073	6,6	0,101	21,686	0,085	6,6	-0,036	-0,036
6,8	-0,052	0,072	6,8	0,099	22,075	0,084	6,8	-0,033	-0,035
7,0	-0,052	0,072	7,0	0,097	22,457	0,083	7,0	-0,031	-0,033
7,2	-0,052	0,071	7,2	0,095	22,832	0,082	7,2	-0,029	-0,032
7,4	-0,052	0,071	7,4	0,093	23,200	0,082	7,4	-0,027	-0,031
7,6	-0,052	0,071	7,6	0,091	23,562	0,081	7,6	-0,025	-0,029
7,8	-0,052	0,070	7,8	0,090	23,916	0,080	7,8	-0,022	-0,028
8,0	-0,052	0,070	8,0	0,088	24,263	0,079	8,0	-0,021	-0,027
8,2	-0,052	0,069	8,2	0,087	24,604	0,079	8,2	-0,020	-0,025
8,4	-0,052	0,069	8,4	0,086	24,937	0,078	8,4	-0,019	-0,024
8,6	-0,052	0,069	8,6	0,084	25,264	0,077	8,6	-0,018	-0,023
8,8	-0,052	0,069	8,8	0,083	25,585	0,077	8,8	-0,016	-0,022
9,0	-0,052	0,068	9,0	0,082	25,899	0,076	9,0	-0,015	-0,021
10,0	-0,053	0,067	10,0	0,078	27,373	0,074	10,0	-0,011	-0,016

R	$K_{48}^{(-)}$	$Q_{48}^{(-)}$	R	$K_{50}^{(+)}$	$Q_{50}^{(+)}$	\bar{K}_{50}	R	$K_{51}^{(+)}$	$Q_{51}^{(+)}$	\bar{K}_{51}
0,2	-2,564	-0,095	0,2	-0,001	-0,004	0,000	0,2	-0,001	0,005	0,000
0,4	-1,390	-0,094	0,4	-0,003	-0,009	0,000	0,4	-0,003	0,009	0,000
0,6	-0,911	-0,091	0,6	-0,005	-0,014	0,001	0,6	-0,005	0,013	0,000
0,8	-0,669	-0,089	0,8	-0,007	-0,020	0,002	0,8	-0,007	0,017	-0,001
1,0	-0,525	-0,086	1,0	-0,008	-0,027	0,004	1,0	-0,009	0,020	-0,001
1,2	-0,434	-0,083	1,2	-0,009	-0,034	0,005	1,2	-0,010	0,023	-0,001
1,4	-0,376	-0,082	1,4	-0,009	-0,042	0,008	1,4	-0,012	0,025	-0,002
1,6	-0,339	-0,082	1,6	-0,009	-0,051	0,011	1,6	-0,013	0,026	-0,002
1,8	-0,316	-0,084	1,8	-0,008	-0,061	0,014	1,8	-0,014	0,028	-0,002
2,0	-0,302	-0,087	2,0	-0,006	-0,071	0,018	2,0	-0,015	0,029	-0,003
2,2	-0,295	-0,091	2,2	-0,004	-0,082	0,023	2,2	-0,015	0,030	-0,003
2,4	-0,289	-0,096	2,4	-0,002	-0,094	0,029	2,4	-0,016	0,030	-0,003
2,6	-0,284	-0,101	2,6	0,002	-0,106	0,035	2,6	-0,016	0,029	-0,003
2,8	-0,278	-0,106	2,8	0,006	-0,118	0,042	2,8	-0,016	0,028	-0,002
3,0	-0,271	-0,110	3,0	0,011	-0,131	0,049	3,0	-0,015	0,027	-0,002
3,2	-0,261	-0,114	3,2	0,016	-0,142	0,057	3,2	-0,015	0,025	-0,002
3,4	-0,250	-0,118	3,4	0,022	-0,153	0,064	3,4	-0,014	0,024	-0,001
3,6	-0,239	-0,120	3,6	0,028	-0,163	0,071	3,6	-0,013	0,022	-0,001
3,8	-0,227	-0,122	3,8	0,034	-0,171	0,078	3,8	-0,012	0,020	-0,001
4,0	-0,216	-0,123	4,0	0,040	-0,179	0,084	4,0	-0,012	0,018	0,000
4,2	-0,205	-0,123	4,2	0,047	-0,185	0,090	4,2	-0,011	0,017	0,000
4,4	-0,196	-0,122	4,4	0,053	-0,189	0,095	4,4	-0,010	0,017	0,001
4,6	-0,187	-0,122	4,6	0,060	-0,193	0,099	4,6	-0,009	0,015	0,001
4,8	-0,179	-0,120	4,8	0,066	-0,195	0,102	4,8	-0,008	0,014	0,001
5,0	-0,172	-0,119	5,0	0,071	-0,196	0,105	5,0	-0,008	0,013	0,001
5,2	-0,165	-0,117	5,2	0,076	-0,197	0,107	5,2	-0,007	0,013	0,001
5,4	-0,159	-0,116	5,4	0,081	-0,196	0,108	5,4	-0,007	0,012	0,001
5,6	-0,154	-0,114	5,6	0,085	-0,195	0,109	5,6	-0,007	0,012	0,001
5,8	-0,148	-0,112	5,8	0,089	-0,193	0,109	5,8	-0,006	0,012	0,001
6,0	-0,144	-0,110	6,0	0,092	-0,190	0,109	6,0	-0,006	0,012	0,001
6,2	-0,139	-0,109	6,2	0,093	-0,187	0,108	6,2	-0,006	0,011	0,001
6,4	-0,135	-0,107	6,4	0,096	-0,183	0,108	6,4	-0,006	0,011	0,001
6,6	-0,131	-0,105	6,6	0,096	-0,180	0,107	6,6	-0,006	0,011	0,001
6,8	-0,127	-0,103	6,8	0,097	-0,176	0,105	6,8	-0,006	0,011	0,001
7,0	-0,123	-0,101	7,0	0,102	-0,171	0,104	7,0	-0,006	0,011	0,001
7,2	-0,120	-0,100	7,2	0,098	-0,167	0,102	7,2	-0,005	0,011	0,001
7,4	-0,116	-0,098	7,4	0,097	-0,163	0,101	7,4	-0,005	0,011	0,000
7,6	-0,113	-0,096	7,6	0,096	-0,159	0,099	7,6	-0,005	0,011	0,000
7,8	-0,110	-0,094	7,8	0,096	-0,155	0,097	7,8	-0,005	0,011	0,000
8,0	-0,107	-0,093	8,0	0,094	-0,151	0,095	8,0	-0,005	0,010	0,000
8,2	-0,104	-0,091	8,2	0,093	-0,147	0,093	8,2	-0,005	0,010	0,000
8,4	-0,101	-0,090	8,4	0,093	-0,143	0,092	8,4	-0,005	0,010	0,000
8,6	-0,099	-0,088	8,6	0,093	-0,139	0,090	8,6	-0,005	0,010	0,000
8,8	-0,096	-0,087	8,8	0,093	-0,135	0,088	8,8	-0,005	0,010	0,000
9,0	-0,093	-0,085	9,0	0,089	-0,131	0,086	9,0	-0,005	0,009	0,000
10,0	-0,082	-0,078	10,0	0,088	-0,116	0,079	10,0	-0,005	0,008	0,000

R	$K_{52}^{(-)}$	$Q_{52}^{(-)}$	R	$K_{53}^{(+)}$	$Q_{53}^{(+)}$	\tilde{K}_{53}	R	$K_{54}^{(-)}$	$Q_{54}^{(-)}$
0,2	-3,459	0,170	0,2	0,000	-0,001	0,000	0,2	-0,009	-0,001
0,4	-0,862	0,171	0,4	0,001	-0,001	0,000	0,4	-0,022	-0,003
0,6	-0,585	0,171	0,6	0,001	-0,002	0,000	0,6	-0,031	-0,008
0,8	-0,450	0,171	0,8	0,002	-0,002	0,000	0,8	-0,035	-0,013
1,0	-0,371	0,172	1,0	0,002	-0,002	0,000	1,0	-0,031	-0,018
1,2	-0,318	0,173	1,2	0,002	-0,002	0,000	1,2	-0,021	-0,023
1,4	-0,281	0,175	1,4	0,002	-0,002	0,000	1,4	-0,008	-0,026
1,6	-0,254	0,178	1,6	0,002	-0,002	0,000	1,6	0,003	-0,027
1,8	-0,236	0,183	1,8	0,001	-0,002	0,000	1,8	0,012	-0,026
2,0	-0,225	0,188	2,0	0,001	-0,002	0,000	2,0	0,017	-0,024
2,2	-0,220	0,194	2,2	0,001	-0,002	0,000	2,2	0,019	-0,020
2,4	-0,220	0,201	2,4	0,001	-0,003	0,000	2,4	0,019	-0,015
2,6	-0,223	0,208	2,6	0,001	-0,003	0,000	2,6	0,017	-0,008
2,8	-0,229	0,214	2,8	0,001	-0,003	0,000	2,8	0,014	-0,002
3,0	-0,236	0,220	3,0	0,001	-0,003	0,000	3,0	0,009	0,004
3,2	-0,245	0,225	3,2	0,001	-0,003	0,000	3,2	0,004	0,011
3,4	-0,253	0,228	3,4	0,001	-0,004	0,001	3,4	-0,001	0,017
3,6	-0,261	0,230	3,6	0,002	-0,004	0,001	3,6	-0,007	0,023
3,8	-0,267	0,231	3,8	0,002	-0,004	0,001	3,8	-0,011	0,028
4,0	-0,272	0,230	4,0	0,002	-0,004	0,001	4,0	-0,016	0,032
4,2	-0,275	0,228	4,2	0,002	-0,004	0,001	4,2	-0,020	0,036
4,4	-0,277	0,226	4,4	0,003	-0,004	0,001	4,4	-0,023	0,038
4,6	-0,278	0,222	4,6	0,003	-0,004	0,001	4,6	-0,025	0,040
4,8	-0,277	0,218	4,8	0,003	-0,004	0,001	4,8	-0,027	0,041
5,0	-0,275	0,213	5,0	0,003	-0,004	0,001	5,0	-0,028	0,042
5,2	-0,272	0,209	5,2	0,003	-0,003	0,000	5,2	-0,029	0,042
5,4	-0,268	0,203	5,4	0,003	-0,003	0,000	5,4	-0,030	0,042
5,6	-0,264	0,198	5,6	0,003	-0,003	0,000	5,6	-0,030	0,041
5,8	-0,259	0,193	5,8	0,003	-0,002	0,000	5,8	-0,030	0,040
6,0	-0,254	0,188	6,0	0,003	-0,002	0,000	6,0	-0,029	0,039
6,2	-0,248	0,183	6,2	0,003	-0,002	0,000	6,2	-0,029	0,038
6,4	-0,243	0,178	6,4	0,003	-0,001	0,000	6,4	-0,028	0,037
6,6	-0,237	0,173	6,6	0,003	-0,001	-0,001	6,6	-0,027	0,036
6,8	-0,231	0,168	6,8	0,003	-0,001	-0,001	6,8	-0,026	0,035
7,0	-0,226	0,163	7,0	0,003	0,000	-0,001	7,0	-0,026	0,033
7,2	-0,220	0,159	7,2	0,003	0,000	-0,001	7,2	-0,025	0,032
7,4	-0,214	0,154	7,4	0,003	0,000	-0,001	7,4	-0,024	0,030
7,6	-0,209	0,150	7,6	0,003	0,000	-0,001	7,6	-0,023	0,029
7,8	-0,204	0,146	7,8	0,003	0,001	-0,001	7,8	-0,022	0,028
8,0	-0,199	0,143	8,0	0,002	0,001	-0,001	8,0	-0,021	0,027
8,2	-0,194	0,139	8,2	0,002	0,001	-0,001	8,2	-0,020	0,025
8,4	-0,189	0,136	8,4	0,002	0,001	-0,001	8,4	-0,019	0,024
8,6	-0,185	0,132	8,6	0,002	0,001	-0,001	8,6	-0,018	0,023
8,8	-0,181	0,129	8,8	0,002	0,001	-0,001	8,8	-0,017	0,022
9,0	-0,177	0,126	9,0	0,002	0,002	-0,001	9,0	-0,016	0,021
10,0	-0,156	0,114	10,0	0,001	0,002	-0,001	10,0	-0,013	0,016

R	$K_{55}^{(+)}$	N_5	\tilde{K}_{55}	R	$K_{59}^{(-)}$	$Q_{59}^{(-)}$	R	$K_{60}^{(+)}$	$Q_{60}^{(+)}$	\tilde{K}_{60}
0,2	150,028	6567,580	0,III	0,2	-3,131	-0,126	0,2	2,550	0,037	0,128
0,4	37,507	1626,331	0,II2	0,4	-2,523	-0,126	0,4	1,153	0,051	0,112
0,6	16,671	712,724	0,II3	0,6	-1,686	-0,126	0,6	0,373	0,054	0,099
0,8	9,378	393,751	0,II4	0,8	-1,268	-0,127	0,8	0,210	0,056	0,088
1,0	6,004	246,632	0,II6	1,0	-1,018	-0,127	1,0	0,135	0,054	0,079
1,2	4,172	167,101	0,II8	1,2	-0,853	-0,127	1,2	0,106	0,053	0,072
1,4	3,069	119,458	0,121	1,4	-0,735	-0,127	1,4	0,085	0,051	0,066
1,6	2,354	88,808	0,124	1,6	-0,647	-0,127	1,6	0,072	0,050	0,060
1,8	1,865	68,042	0,129	1,8	-0,580	-0,128	1,8	0,063	0,048	0,056
2,0	1,517	53,422	0,134	2,0	-0,526	-0,128	2,0	0,055	0,047	0,052
2,2	1,262	42,831	0,140	2,2	-0,482	-0,128	2,2	0,050	0,046	0,049
2,4	1,068	34,995	0,146	2,4	-0,447	-0,128	2,4	0,046	0,045	0,046
2,6	0,918	29,108	0,154	2,6	-0,417	-0,129	2,6	0,043	0,044	0,044
2,8	0,799	24,639	0,162	2,8	-0,392	-0,129	2,8	0,040	0,043	0,042
3,0	0,702	21,224	0,169	3,0	-0,370	-0,129	3,0	0,038	0,042	0,040
3,2	0,622	18,605	0,177	3,2	-0,353	-0,129	3,2	0,036	0,041	0,038
3,4	0,554	16,595	0,184	3,4	-0,338	-0,130	3,4	0,034	0,040	0,037
3,6	0,496	15,053	0,189	3,6	-0,325	-0,130	3,6	0,033	0,040	0,035
3,8	0,447	13,875	0,193	3,8	-0,315	-0,131	3,8	0,032	0,039	0,034
4,0	0,404	12,982	0,196	4,0	-0,307	-0,132	4,0	0,031	0,039	0,033
4,2	0,368	12,315	0,197	4,2	-0,300	-0,133	4,2	0,030	0,038	0,032
4,4	0,336	11,828	0,196	4,4	-0,295	-0,134	4,4	0,028	0,038	0,031
4,6	0,309	11,486	0,194	4,6	-0,291	-0,136	4,6	0,029	0,037	0,030
4,8	0,285	11,265	0,190	4,8	-0,288	-0,137	4,8	0,028	0,037	0,030
5,0	0,263	11,142	0,186	5,0	-0,286	-0,139	5,0	0,027	0,036	0,029
5,2	0,244	11,104	0,181	5,2	-0,284	-0,141	5,2	0,027	0,036	0,028
5,4	0,227	11,137	0,176	5,4	-0,282	-0,143	5,4	0,026	0,036	0,028
5,6	0,212	11,233	0,170	5,6	-0,279	-0,145	5,6	0,026	0,035	0,027
5,8	0,198	11,385	0,164	5,8	-0,277	-0,147	5,8	0,025	0,035	0,027
6,0	0,185	11,585	0,157	6,0	-0,273	-0,148	6,0	0,025	0,035	0,026
6,2	0,173	11,830	0,151	6,2	-0,270	-0,149	6,2	0,024	0,035	0,026
6,4	0,162	12,114	0,145	6,4	-0,265	-0,150	6,4	0,024	0,034	0,025
6,6	0,152	12,435	0,139	6,6	-0,260	-0,150	6,6	0,024	0,034	0,025
6,8	0,143	12,788	0,133	6,8	-0,254	-0,150	6,8	0,024	0,034	0,025
7,0	0,134	13,172	0,127	7,0	-0,248	-0,150	7,0	0,023	0,033	0,024
7,2	0,126	13,584	0,122	7,2	-0,241	-0,149	7,2	0,023	0,033	0,024
7,4	0,119	14,021	0,117	7,4	-0,235	-0,148	7,4	0,023	0,033	0,024
7,6	0,112	14,481	0,112	7,6	-0,228	-0,146	7,6	0,023	0,033	0,024
7,8	0,111	14,963	0,107	7,8	-0,221	-0,144	7,8	0,022	0,033	0,023
8,0	0,101	15,463	0,103	8,0	-0,215	-0,142	8,0	0,022	0,033	0,023
8,2	0,095	15,982	0,099	8,2	-0,209	-0,140	8,2	0,022	0,033	0,023
8,4	0,091	16,515	0,095	8,4	-0,202	-0,137	8,4	0,021	0,032	0,023
8,6	0,086	17,063	0,091	8,6	-0,196	-0,135	8,6	0,021	0,032	0,023
8,8	0,082	17,624	0,088	8,8	-0,191	-0,132	8,8	0,020	0,032	0,022
9,0	0,079	18,195	0,085	9,0	-0,185	-0,129	9,0	0,020	0,032	0,022
10,0	0,065	21,158	0,072	10,0	-0,162	-0,114	10,0	0,020	0,032	0,022

R	$K_{62}^{(-)}$	$Q_{62}^{(-)}$	R	$K_{66}^{(-)}$	N_6	\tilde{K}_{66}	R	$K_{70}^{(-)}$	$Q_{70}^{(-)}$
0,2	0,357	0,018	0,2	0,388	35,286	0,062	0,2	-0,033	0,082
0,4	0,106	0,013	0,4	0,204	43,526	0,059	0,4	-0,061	0,079
0,6	0,004	0,006	0,6	0,173	52,044	0,057	0,6	-0,088	0,074
0,8	-0,053	-0,002	0,8	0,156	60,671	0,054	0,8	-0,114	0,067
1,0	-0,085	-0,009	1,0	0,142	69,355	0,053	1,0	-0,133	0,056
1,2	-0,099	-0,016	1,2	0,130	78,074	0,051	1,2	-0,146	0,045
1,4	-0,103	-0,022	1,4	0,119	86,819	0,049	1,4	-0,153	0,033
1,6	-0,101	-0,026	1,6	0,110	95,583	0,048	1,6	-0,155	0,022
1,8	-0,097	-0,030	1,8	0,102	104,363	0,047	1,8	-0,154	0,013
2,0	-0,092	-0,032	2,0	0,095	113,133	0,045	2,0	-0,152	0,004
2,2	-0,087	-0,034	2,2	0,089	121,951	0,044	2,2	-0,149	-0,002
2,4	-0,083	-0,035	2,4	0,083	130,751	0,043	2,4	-0,146	-0,008
2,6	-0,079	-0,035	2,6	0,078	139,547	0,042	2,6	-0,143	-0,013
2,8	-0,076	-0,036	2,8	0,074	148,336	0,041	2,8	-0,139	-0,018
3,0	-0,073	-0,036	3,0	0,070	157,111	0,041	3,0	-0,136	-0,021
3,2	-0,070	-0,036	3,2	0,067	165,869	0,040	3,2	-0,133	-0,024
3,4	-0,068	-0,036	3,4	0,064	174,603	0,039	3,4	-0,131	-0,027
3,6	-0,066	-0,036	3,6	0,061	183,308	0,038	3,6	-0,128	-0,030
3,8	-0,064	-0,036	3,8	0,058	191,979	0,038	3,8	-0,126	-0,032
4,0	-0,062	-0,035	4,0	0,056	200,611	0,037	4,0	-0,124	-0,034
4,2	-0,060	-0,035	4,2	0,054	209,197	0,036	4,2	-0,122	-0,036
4,4	-0,059	-0,035	4,4	0,052	217,734	0,036	4,4	-0,120	-0,038
4,6	-0,057	-0,035	4,6	0,050	226,217	0,035	4,6	-0,118	-0,039
4,8	-0,056	-0,034	4,8	0,048	234,639	0,035	4,8	-0,117	-0,041
5,0	-0,055	-0,034	5,0	0,047	242,998	0,034	5,0	-0,115	-0,042
5,2	-0,054	-0,034	5,2	0,045	251,288	0,034	5,2	-0,113	-0,043
5,4	-0,053	-0,034	5,4	0,044	259,504	0,033	5,4	-0,112	-0,044
5,6	-0,052	-0,034	5,6	0,043	267,644	0,033	5,6	-0,110	-0,045
5,8	-0,051	-0,033	5,8	0,042	275,702	0,032	5,8	-0,109	-0,046
6,0	-0,051	-0,033	6,0	0,041	283,676	0,032	6,0	-0,107	-0,047
6,2	-0,050	-0,033	6,2	0,040	291,561	0,031	6,2	-0,106	-0,047
6,4	-0,049	-0,033	6,4	0,039	299,355	0,031	6,4	-0,105	-0,048
6,6	-0,049	-0,033	6,6	0,038	307,055	0,031	6,6	-0,103	-0,048
6,8	-0,048	-0,032	6,8	0,037	314,658	0,030	6,8	-0,102	-0,049
7,0	-0,047	-0,032	7,0	0,036	322,161	0,030	7,0	-0,101	-0,049
7,2	-0,047	-0,032	7,2	0,036	329,562	0,030	7,2	-0,100	-0,050
7,4	-0,047	-0,032	7,4	0,035	336,860	0,029	7,4	-0,098	-0,050
7,6	-0,046	-0,032	7,6	0,034	344,053	0,029	7,6	-0,097	-0,050
7,8	-0,046	-0,032	7,8	0,034	351,138	0,029	7,8	-0,096	-0,050
8,0	-0,045	-0,031	8,0	0,033	358,116	0,029	8,0	-0,095	-0,051
8,2	-0,045	-0,031	8,2	0,033	364,986	0,028	8,2	-0,095	-0,051
8,4	-0,045	-0,031	8,4	0,032	371,746	0,028	8,4	-0,093	-0,051
8,6	-0,044	-0,031	8,6	0,032	378,396	0,028	8,6	-0,092	-0,051
8,8	-0,044	-0,031	8,8	0,031	391,368	0,027	8,8	-0,091	-0,051
9,0	-0,044	-0,031	9,0	0,031	410,663	0,027	9,0	-0,091	-0,051
10,0	-0,043	-0,031	10,0	0,029	421,900	0,026	10,0	-0,088	-0,051

R	$K_{\overline{72}}^{(+)}$	$Q_{\overline{72}}^{(+)}$	$\tilde{K}_{\overline{72}}$	R	$K_{\overline{77}}^{(+)}$	$N_{\overline{77}}$	$\tilde{K}_{\overline{77}}$	R	$\tilde{K}_{80}^{(+)}$	$Q_{80}^{(+)}$	\tilde{K}_{80}
0,2	-4,90I	-0,024	0,07I	0,2	50,16I	248,018	0,064	0,2	-0,00I	-0,003	0,000
0,4	I,806	-0,046	0,074	0,4	I2,563	I20,785	0,065	0,4	-0,002	-0,006	0,000
0,6	0,152	-0,063	0,080	0,6	5,625	78,968	0,067	0,6	-0,003	-0,010	0,00I
0,8	-0,06I	-0,072	0,086	0,8	3,203	59,342	0,069	0,8	-0,004	-0,014	0,002
I,0	-0,054	-0,070	0,092	I,0	2,069	49,038	0,07I	I,0	-0,004	-0,018	0,003
I,2	-0,00I	-0,060	0,096	I,2	I,437	43,550	0,072	I,2	-0,004	-0,023	0,004
I,4	0,046	-0,045	0,098	I,4	I,047	40,803	0,072	I,4	-0,003	-0,028	0,006
I,6	0,074	-0,028	0,098	I,6	0,794	39,69I	0,072	I,6	-0,002	-0,034	0,008
I,8	0,087	-0,0I3	0,097	I,8	0,624	39,587	0,07I	I,8	0,000	-0,039	0,0I1
2,0	0,09I	-0,000	0,095	2,0	0,506	40,I22	0,069	2,0	0,002	-0,045	0,0I4
2,2	0,090	0,0I0	0,092	2,2	0,422	4I,075	0,068	2,2	0,005	-0,05I	0,0I7
2,4	0,088	0,0I9	0,090	2,4	0,359	42,307	0,067	2,4	0,008	-0,056	0,02I
2,6	0,084	0,026	0,087	2,6	0,3I1	43,732	0,065	2,6	0,0I2	-0,06I	0,024
2,8	0,08I	0,03I	0,084	2,8	0,273	45,292	0,064	2,8	0,0I6	-0,066	0,030
3,0	0,077	0,035	0,08I	3,0	0,243	46,948	0,062	3,0	0,02I	-0,069	0,035
3,2	0,075	0,039	0,078	3,2	0,219	48,676	0,06I	3,2	0,026	-0,07I	0,039
3,4	0,072	0,042	0,076	3,4	0,199	50,455	0,060	3,4	0,03I	-0,072	0,043
3,6	0,070	0,044	0,073	3,6	0,182	52,273	0,059	3,6	0,036	-0,072	0,047
3,8	0,068	0,046	0,07I	3,8	0,167	54,I20	0,058	3,8	0,040	-0,07I	0,05I
4,0	0,066	0,047	0,069	4,0	0,155	55,987	0,057	4,0	0,045	-0,069	0,053
4,2	0,064	0,048	0,067	4,2	0,144	57,870	0,056	4,2	0,049	-0,066	0,056
4,4	0,062	0,049	0,066	4,4	0,135	59,764	0,055	4,4	0,052	-0,063	0,058
4,6	0,06I	0,050	0,064	4,6	0,126	6I,666	0,054	4,6	0,056	-0,060	0,060
4,8	0,060	0,05I	0,063	4,8	0,119	63,572	0,053	4,8	0,058	-0,056	0,06I
5,0	0,058	0,05I	0,06I	5,0	0,113	65,479	0,053	5,0	0,06I	-0,052	0,062
5,2	0,057	0,052	0,060	5,2	0,107	67,387	0,052	5,2	0,062	-0,049	0,063
5,4	0,056	0,052	0,059	5,4	0,102	69,293	0,05I	5,4	0,064	-0,045	0,063
5,6	0,055	0,052	0,057	5,6	0,097	7I,196	0,05I	5,6	0,065	-0,04I	0,064
5,8	0,054	0,052	0,056	5,8	0,093	73,094	0,050	5,8	0,066	-0,038	0,064
6,0	0,054	0,053	0,055	6,0	0,089	74,987	0,049	6,0	0,066	-0,034	0,064
6,2	0,053	0,053	0,054	6,2	0,086	76,873	0,049	6,2	0,067	-0,03I	0,064
6,4	0,052	0,053	0,053	6,4	0,082	78,752	0,048	6,4	0,067	-0,028	0,064
6,6	0,05I	0,053	0,053	6,6	0,079	80,623	0,048	6,6	0,066	-0,026	0,063
6,8	0,05I	0,053	0,052	6,8	0,077	82,485	0,047	6,8	0,066	-0,023	0,063
7,0	0,050	0,053	0,05I	7,0	0,074	84,337	0,046	7,0	0,066	-0,020	0,063
7,2	0,049	0,053	0,050	7,2	0,072	86,I79	0,046	7,2	0,066	-0,018	0,062
7,4	0,049	0,053	0,050	7,4	0,070	88,01I	0,046	7,4	0,065	-0,016	0,06I
7,6	0,049	0,053	0,049	7,6	0,068	89,83I	0,045	7,6	0,064	-0,015	0,06I
7,8	0,048	0,053	0,049	7,8	0,066	9I,640	0,045	7,8	0,064	-0,012	0,060
8,0	0,047	0,053	0,048	8,0	0,064	93,437	0,044	8,0	0,063	-0,01I	0,059
8,2	0,047	0,053	0,047	8,2	0,063	95,222	0,044	8,2	0,063	-0,009	0,059
8,4	0,046	0,053	0,047	8,4	0,06I	96,994	0,043	8,4	0,063	-0,008	0,058
8,6	0,046	0,053	0,046	8,6	0,060	98,753	0,043	8,6	0,062	-0,007	0,057
8,8	0,046	0,053	0,046	8,8	0,059	I00,499	0,043	8,8	0,062	-0,006	0,056
9,0	0,045	0,053	0,046	9,0	0,057	I02,232	0,042	9,0	0,062	-0,005	0,055
I0,0	0,045	0,053	0,044	I0,0	0,052	I10,692	0,04I	I0,0	0,059	-0,00I	0,05I

R	$K_{g2}^{(-)}$	$Q_{g2}^{(-)}$	R	$K_{g8}^{(+)}$	N_g	\tilde{K}_{g8}	R	$K_{g0}^{(-)}$	$Q_{g0}^{(-)}$
0,2	-1,857	0,083	0,2	150,068	16892,241	0,063	0,2	0,000	0,000
0,4	-0,413	0,085	0,4	37,516	4186,111	0,063	0,4	0,000	0,000
0,6	-0,276	0,086	0,6	16,675	1836,483	0,063	0,6	0,000	0,000
0,8	-0,211	0,089	0,8	9,381	1015,995	0,064	0,8	0,000	0,000
1,0	-0,175	0,091	1,0	6,106	637,482	0,065	1,0	0,000	0,001
1,2	-0,154	0,093	1,2	4,175	432,823	0,066	1,2	0,000	0,001
1,4	-0,141	0,096	1,4	3,072	310,222	0,067	1,4	0,001	0,002
1,6	-0,132	0,098	1,6	2,359	231,373	0,068	1,6	0,001	0,002
1,8	-0,128	0,101	1,8	1,872	178,013	0,070	1,8	0,001	0,003
2,0	-0,127	0,103	2,0	1,527	140,531	0,072	2,0	0,001	0,004
2,2	-0,128	0,106	2,2	1,273	113,488	0,075	2,2	0,001	0,005
2,4	-0,131	0,107	2,4	1,081	93,612	0,077	2,4	0,001	0,006
2,6	-0,135	0,108	2,6	0,932	78,829	0,080	2,6	0,001	0,008
2,8	-0,140	0,108	2,8	0,813	67,764	0,083	2,8	0,001	0,009
3,0	-0,145	0,106	3,0	0,715	59,467	0,085	3,0	0,000	0,011
3,2	-0,150	0,103	3,2	0,631	53,257	0,087	3,2	0,000	0,014
3,4	-0,154	0,099	3,4	0,559	48,631	0,089	3,4	-0,001	0,016
3,6	-0,157	0,094	3,6	0,497	45,212	0,089	3,6	-0,002	0,019
3,8	-0,159	0,089	3,8	0,444	42,715	0,090	3,8	-0,003	0,022
4,0	-0,160	0,083	4,0	0,397	40,923	0,090	4,0	-0,005	0,026
4,2	-0,161	0,077	4,2	0,358	39,674	0,089	4,2	-0,007	0,030
4,4	-0,160	0,070	4,4	0,324	38,842	0,088	4,4	-0,010	0,034
4,6	-0,159	0,064	4,6	0,295	38,337	0,087	4,6	-0,013	0,038
4,8	-0,158	0,059	4,8	0,270	38,088	0,086	4,8	-0,016	0,043
5,0	-0,156	0,053	5,0	0,249	38,043	0,084	5,0	-0,021	0,048
5,2	-0,155	0,048	5,2	0,230	38,165	0,083	5,2	-0,025	0,054
5,4	-0,153	0,044	5,4	0,214	38,423	0,082	5,4	-0,031	0,060
5,6	-0,151	0,039	5,6	0,200	38,734	0,080	5,6	-0,037	0,066
5,8	-0,148	0,035	5,8	0,187	39,264	0,079	5,8	-0,043	0,072
6,0	-0,146	0,032	6,0	0,176	39,819	0,077	6,0	-0,050	0,078
6,2	-0,144	0,028	6,2	0,166	40,449	0,076	6,2	-0,058	0,084
6,4	-0,142	0,025	6,4	0,157	41,149	0,074	6,4	-0,066	0,090
6,6	-0,140	0,022	6,6	0,149	41,911	0,073	6,6	-0,073	0,095
6,8	-0,137	0,020	6,8	0,141	42,734	0,072	6,8	-0,081	0,101
7,0	-0,135	0,017	7,0	0,134	43,612	0,070	7,0	-0,089	0,106
7,2	-0,133	0,015	7,2	0,128	44,545	0,069	7,2	-0,097	0,111
7,4	-0,131	0,013	7,4	0,122	45,530	0,068	7,4	-0,105	0,115
7,6	-0,128	0,012	7,6	0,116	46,567	0,066	7,6	-0,111	0,119
7,8	-0,126	0,010	7,8	0,111	47,655	0,065	7,8	-0,118	0,122
8,0	-0,124	0,009	8,0	0,106	48,793	0,064	8,0	-0,123	0,125
8,2	-0,122	0,007	8,2	0,102	49,981	0,063	8,2	-0,127	0,127
8,4	-0,119	0,006	8,4	0,098	51,219	0,061	8,4	-0,135	0,129
8,6	-0,117	0,005	8,6	0,094	52,506	0,060	8,6	-0,143	0,131
8,8	-0,116	0,004	8,8	0,090	53,842	0,059	8,8	-0,148	0,132
9,0	-0,114	0,003	9,0	0,087	55,227	0,058	9,0	-0,145	0,133
10,0	-0,100	0,000	10,0	0,071	62,879	0,052	10,0	-0,152	0,135

R	$K_{92}^{(*)}$	$Q_{92}^{(*)}$	\tilde{K}_{92}	R	$K_{99}^{(*)}$	N_9	$\tilde{K}_{99}^{(*)}$
0,2	0,019	-0,001	0,000	0,2	300,784	379553,357	0,063
0,4	0,016	-0,003	0,000	0,4	75,017	472733,614	0,063
0,6	0,015	-0,004	0,000	0,6	33,341	139310,960	0,063
0,8	0,015	-0,005	0,000	0,8	18,754	58358,963	0,062
1,0	0,015	-0,007	0,000	1,0	12,003	29625,976	0,063
1,2	0,015	-0,008	0,000	1,2	8,336	16975,534	0,063
1,4	0,015	-0,009	0,001	1,4	6,124	10570,888	0,064
1,6	0,014	-0,010	0,001	1,6	4,689	6993,994	0,064
1,8	0,013	-0,012	0,001	1,8	3,705	4845,517	0,065
2,0	0,013	-0,013	0,001	2,0	3,002	3480,503	0,065
2,2	0,012	-0,015	0,002	2,2	2,481	2573,692	0,066
2,4	0,012	-0,017	0,002	2,4	2,085	1949,021	0,066
2,6	0,011	-0,019	0,003	2,6	1,777	1505,579	0,067
2,8	0,011	-0,021	0,003	2,8	1,533	1182,729	0,068
3,0	0,011	-0,023	0,004	3,0	1,336	942,563	0,069
3,2	0,012	-0,026	0,005	3,2	1,175	760,567	0,070
3,4	0,012	-0,029	0,006	3,4	1,042	620,423	0,071
3,6	0,013	-0,032	0,007	3,6	0,931	510,985	0,072
3,8	0,013	-0,035	0,008	3,8	0,837	424,473	0,074
4,0	0,014	-0,039	0,009	4,0	0,757	355,345	0,075
4,2	0,015	-0,043	0,011	4,2	0,688	299,586	0,077
4,4	0,017	-0,047	0,013	4,4	0,629	254,237	0,079
4,6	0,018	-0,052	0,015	4,6	0,578	217,090	0,081
4,8	0,020	-0,057	0,017	4,8	0,533	186,475	0,083
5,0	0,022	-0,062	0,019	5,0	0,494	161,101	0,086
5,2	0,024	-0,067	0,022	5,2	0,459	139,986	0,088
5,4	0,027	-0,072	0,025	5,4	0,429	122,346	0,091
5,6	0,029	-0,078	0,028	5,6	0,401	107,567	0,095
5,8	0,033	-0,084	0,031	5,8	0,377	95,155	0,098
6,0	0,035	-0,089	0,034	6,0	0,355	84,711	0,101
6,2	0,039	-0,095	0,038	6,2	0,334	75,910	0,105
6,4	0,042	-0,100	0,041	6,4	0,316	68,484	0,108
6,6	0,046	-0,105	0,045	6,6	0,298	62,213	0,112
6,8	0,047	-0,110	0,048	6,8	0,282	56,912	0,115
7,0	0,049	-0,115	0,052	7,0	0,267	52,426	0,118
7,2	0,056	-0,119	0,055	7,2	0,253	48,626	0,120
7,4	0,060	-0,122	0,058	7,4	0,240	45,405	0,123
7,6	0,062	-0,126	0,061	7,6	0,228	42,671	0,125
7,8	0,065	-0,129	0,064	7,8	0,216	40,348	0,126
8,0	0,067	-0,130	0,066	8,0	0,206	38,374	0,127
8,2	0,070	-0,133	0,069	8,2	0,196	36,694	0,128
8,4	0,072	-0,133	0,071	8,4	0,188	35,265	0,128
8,6	0,074	-0,135	0,073	8,6	0,180	34,050	0,128
8,8	0,075	-0,139	0,074	8,8	0,172	33,017	0,128
9,0	0,076	-0,139	0,076	9,0	0,165	32,140	0,128
10,0	0,081	-0,142	0,081	10,0	0,158	29,455	0,122

R	$K_{\alpha\beta}^{(+)}$	$K_{\alpha\beta}^{(-)}$	N_{α}	$\bar{K}_{\alpha\alpha}$	R	$K_{\alpha\beta}^{(+)}$	$K_{\alpha\beta}^{(-)}$	$Q_{\alpha\beta}^{(+)}$	$Q_{\alpha\beta}^{(-)}$	$\bar{K}_{\alpha\beta}$	$R_{\alpha\beta}$	$A_{\alpha\beta}$
0,2	0,517	-1,503	0,442	1,919	0,2	2,511	-8,832	0,159	-0,428	0,048	0,277	2,273
0,4	0,654	-1,528	0,545	1,549	0,4	2,166	-4,818	0,201	-0,441	0,101	0,331	2,082
0,6	0,726	-1,578	0,629	1,303	0,6	1,909	-3,421	0,254	-0,443	0,159	0,389	1,794
0,8	0,787	-1,645	0,691	1,150	0,8	1,740	-2,625	0,306	-0,429	0,214	0,439	1,436
1,0	0,847	-1,719	0,734	1,059	1,0	1,546	-2,098	0,348	-0,401	0,260	0,473	1,086
1,2	0,900	-1,791	0,761	1,010	1,2	1,324	-1,731	0,371	-0,367	0,291	0,489	0,800
1,4	0,941	-1,851	0,778	0,987	1,4	1,092	-1,460	0,375	-0,332	0,307	0,488	0,599
1,6	0,969	-1,898	0,788	0,979	1,6	0,876	-1,248	0,362	-0,299	0,311	0,473	0,452
1,8	0,985	-1,932	0,796	0,979	1,8	0,695	-1,075	0,338	-0,270	0,304	0,448	0,349
2,0	0,992	-1,954	0,801	0,982	2,0	0,554	-0,932	0,308	-0,243	0,291	0,417	0,276
2,2	0,996	-1,969	0,806	0,986	2,2	0,452	-0,813	0,276	-0,220	0,274	0,383	0,222
2,4	0,997	-1,978	0,811	0,989	2,4	0,378	-0,714	0,246	-0,200	0,256	0,350	0,182
2,6	0,997	-1,984	0,815	0,991	2,6	0,325	-0,632	0,219	-0,182	0,238	0,318	0,151
2,8	0,997	-1,988	0,818	0,993	2,8	0,286	-0,563	0,196	-0,166	0,220	0,289	0,126
3,0	0,998	-1,990	0,822	0,994	3,0	0,255	-0,504	0,175	-0,152	0,204	0,263	0,107
3,2	0,998	-1,992	0,825	0,995	3,2	0,230	-0,455	0,158	-0,140	0,189	0,240	0,091
3,4	0,998	-1,993	0,828	0,996	3,4	0,209	-0,412	0,143	-0,129	0,175	0,219	0,079
3,6	0,998	-1,994	0,831	0,997	3,6	0,190	-0,375	0,130	-0,119	0,163	0,200	0,068
3,8	0,998	-1,995	0,833	0,997	3,8	0,174	-0,342	0,119	-0,111	0,151	0,183	0,059
4,0	0,998	-1,995	0,835	0,997	4,0	0,159	-0,313	0,109	-0,103	0,141	0,168	0,051
4,2	0,998	-1,995	0,838	0,997	4,2	0,145	-0,287	0,100	-0,095	0,131	0,155	0,045
4,4	0,998	-1,995	0,839	0,997	4,4	0,133	-0,263	0,093	-0,089	0,122	0,142	0,039
4,6	0,998	-1,996	0,841	0,998	4,6	0,121	-0,241	0,085	-0,082	0,113	0,131	0,034
4,8	0,998	-1,996	0,843	0,998	4,8	0,109	-0,220	0,079	-0,077	0,106	0,121	0,030
5,0	0,998	-1,996	0,845	0,998	5,0	0,098	-0,201	0,073	-0,071	0,098	0,111	0,026
5,2	0,998	-1,996	0,846	0,998	5,2	0,088	-0,182	0,067	-0,066	0,091	0,102	0,022
5,4	0,998	-1,996	0,847	0,998	5,4	0,079	-0,165	0,062	-0,061	0,084	0,093	0,019
5,6	0,998	-1,996	0,849	0,998	5,6	0,070	-0,149	0,057	-0,056	0,078	0,085	0,016
5,8	0,998	-1,995	0,850	0,998	5,8	0,061	-0,134	0,052	-0,051	0,071	0,078	0,014
6,0	0,998	-1,995	0,851	0,998	6,0	0,053	-0,120	0,048	-0,047	0,065	0,071	0,012
6,2	0,998	-1,995	0,852	0,998	6,2	0,046	-0,107	0,043	-0,043	0,060	0,064	0,010
6,4	0,998	-1,995	0,853	0,998	6,4	0,039	-0,095	0,039	-0,039	0,054	0,058	0,008
6,6	0,998	-1,995	0,854	0,998	6,6	0,034	-0,084	0,035	-0,035	0,049	0,052	0,007
6,8	0,998	-1,995	0,855	0,998	6,8	0,028	-0,074	0,032	-0,032	0,044	0,047	0,005
7,0	0,998	-1,995	0,856	0,998	7,0	0,024	-0,065	0,029	-0,028	0,040	0,042	0,004
7,2	0,998	-1,995	0,856	0,998	7,2	0,020	-0,056	0,026	-0,025	0,036	0,037	0,003
7,4	0,998	-1,995	0,857	0,998	7,4	0,017	-0,049	0,023	-0,023	0,032	0,033	0,003
7,6	0,998	-1,995	0,858	0,998	7,6	0,014	-0,043	0,020	-0,020	0,028	0,029	0,002
7,8	0,998	-1,995	0,859	0,998	7,8	0,012	-0,037	0,018	-0,018	0,025	0,026	0,002
8,0	0,998	-1,995	0,859	0,998	8,0	0,010	-0,032	0,016	-0,016	0,022	0,023	0,001
8,2	0,998	-1,995	0,860	0,998	8,2	0,007	-0,028	0,014	-0,014	0,019	0,020	0,001
8,4	0,998	-1,995	0,860	0,998	8,4	0,005	-0,019	0,008	-0,013	0,011	0,018	0,001
8,6	0,998	-1,995	0,861	0,998	8,6	0,004	-0,008	0,003	-0,009	0,006	0,016	0,000
8,8	0,998	-1,995	0,861	0,998	8,8	0,003	0,000	0,001	-0,005	0,003	0,015	0,000
9,0	0,998	-1,995	0,862	0,998	9,0	0,002	0,000	0,000	-0,003	0,001	0,014	0,000
10,0	0,999	-1,995	0,864	0,999	10,0	0,002	0,000	0,000	0,000	0,000	0,009	0,000

R	$K_{\beta\beta}^{(+)}$	$K_{\beta\beta}^{(-)}$	N_{β}	$\tilde{K}_{\beta\beta}$	R	$K_{\beta\alpha}^{(+)}$	$K_{\beta\alpha}^{(-)}$	$Q_{\beta\alpha}^{(+)}$	$Q_{\beta\alpha}^{(-)}$	$\tilde{K}_{\beta\alpha}$	$R_{\beta\alpha}$	$A_{\beta\alpha}$
0,2	50,024	-0,387	12,491	0,581	0,2	-0,170	-0,075	-0,158	0,428	0,048	0,277	2,273
0,4	12,577	-0,417	5,970	0,632	0,4	-0,271	-0,302	-0,200	0,441	0,101	0,331	2,082
0,6	5,662	-0,447	3,902	0,702	0,6	-0,318	-0,526	-0,253	0,443	0,159	0,389	1,794
0,8	3,225	-0,447	3,012	0,759	0,8	-0,311	-0,706	-0,306	0,428	0,214	0,439	1,436
1,0	2,094	-0,405	2,609	0,779	1,0	-0,247	-0,817	-0,347	0,400	0,260	0,473	1,088
1,2	1,488	-0,326	2,444	0,760	1,2	-0,139	-0,860	-0,371	0,366	0,291	0,489	0,806
1,4	1,126	-0,228	2,410	0,713	1,4	-0,013	-0,853	-0,375	0,331	0,307	0,488	0,599
1,6	0,886	-0,126	2,455	0,654	1,6	0,104	-0,813	-0,362	0,299	0,311	0,473	0,452
1,8	0,714	-0,034	2,549	0,591	1,8	0,192	-0,756	-0,338	0,269	0,304	0,448	0,349
2,0	0,587	+0,043	2,675	0,533	2,0	0,244	-0,693	-0,307	0,243	0,291	0,417	0,276
2,2	0,491	+0,105	2,820	0,481	2,2	0,267	-0,630	-0,276	0,220	0,274	0,383	0,222
2,4	0,420	0,152	2,978	0,436	2,4	0,269	-0,572	-0,246	0,199	0,256	0,350	0,182
2,6	0,366	0,188	3,140	0,398	2,6	0,259	-0,519	-0,219	0,181	0,238	0,318	0,151
2,8	0,325	0,216	3,303	0,366	2,8	0,243	-0,472	-0,195	0,166	0,220	0,289	0,126
3,0	0,295	0,238	3,462	0,339	3,0	0,225	-0,431	-0,175	0,152	0,204	0,263	0,107
3,2	0,273	0,255	3,614	0,317	3,2	0,207	-0,395	-0,158	0,140	0,189	0,240	0,091
3,4	0,256	0,270	3,758	0,298	3,4	0,190	-0,363	-0,143	0,129	0,175	0,219	0,079
3,6	0,243	0,283	3,982	0,283	3,6	0,175	-0,334	-0,130	0,119	0,163	0,200	0,068
3,8	0,235	0,295	4,015	0,270	3,8	0,161	-0,309	-0,119	0,110	0,151	0,183	0,059
4,0	0,229	0,307	4,126	0,260	4,0	0,149	-0,286	-0,109	0,102	0,141	0,168	0,051
4,2	0,225	0,318	4,225	0,252	4,2	0,137	-0,266	-0,100	0,095	0,131	0,155	0,045
4,4	0,223	0,329	4,313	0,245	4,4	0,127	-0,247	-0,092	0,088	0,122	0,142	0,039
4,6	0,222	0,341	4,389	0,240	4,6	0,117	-0,229	-0,085	0,082	0,113	0,131	0,034
4,8	0,223	0,353	4,454	0,236	4,8	0,109	-0,213	-0,079	0,076	0,106	0,121	0,030
5,0	0,225	0,364	4,510	0,233	5,0	0,101	-0,198	-0,073	0,071	0,098	0,111	0,026
5,2	0,227	0,376	4,557	0,231	5,2	0,094	-0,183	-0,067	0,065	0,091	0,102	0,022
5,4	0,230	0,388	4,597	0,230	5,4	0,086	-0,169	-0,062	0,060	0,084	0,093	0,019
5,6	0,232	0,399	4,630	0,230	5,6	0,079	-0,156	-0,057	0,056	0,078	0,085	0,016
5,8	0,235	0,411	4,659	0,230	5,8	0,072	-0,143	-0,052	0,051	0,071	0,078	0,014
6,0	0,238	0,421	4,684	0,231	6,0	0,067	-0,131	-0,047	0,047	0,065	0,071	0,012
6,2	0,240	0,431	4,707	0,232	6,2	0,061	-0,120	-0,043	0,043	0,060	0,064	0,010
6,4	0,242	0,440	4,728	0,233	6,4	0,054	-0,109	-0,039	0,039	0,054	0,058	0,008
6,6	0,244	0,448	4,749	0,234	6,6	0,051	-0,098	-0,035	0,035	0,049	0,052	0,007
6,8	0,245	0,455	4,769	0,236	6,8	0,044	-0,089	-0,032	0,032	0,044	0,047	0,005
7,0	0,246	0,462	4,790	0,237	7,0	0,040	-0,080	-0,028	0,028	0,040	0,042	0,004
7,2	0,247	0,467	4,811	0,238	7,2	0,036	-0,071	-0,025	0,025	0,036	0,037	0,003
7,4	0,247	0,472	4,833	0,239	7,4	0,032	-0,063	-0,023	0,023	0,032	0,033	0,003
7,6	0,248	0,476	4,856	0,241	7,6	0,029	-0,056	-0,020	0,020	0,028	0,029	0,002
7,8	0,248	0,480	4,880	0,242	7,8	0,025	-0,050	-0,018	0,018	0,025	0,026	0,002
8,0	0,248	0,483	4,904	0,243	8,0	0,022	-0,044	-0,016	0,016	0,022	0,023	0,001
8,2	0,248	0,485	4,928	0,243	8,2	0,019	-0,038	-0,013	0,013	0,019	0,020	0,001
8,4	0,248	0,487	4,953	0,244	8,4	0,007	-0,025	-0,007	0,007	0,011	0,016	0,001
8,6	0,248	0,489	4,978	0,245	8,6	0,004	-0,013	-0,006	0,006	0,006	0,015	0,000
8,8	0,248	0,491	5,004	0,245	8,8	0,002	-0,006	-0,005	0,005	0,005	0,029	0,000
9,0	0,248	0,492	5,029	0,245	9,0	0,002	-0,002	-0,005	0,005	0,001	0,014	0,000
10,0	0,249	0,495	5,153	0,247	10,0	0,001	-0,000	-0,001	0,001	0,000	0,009	0,000

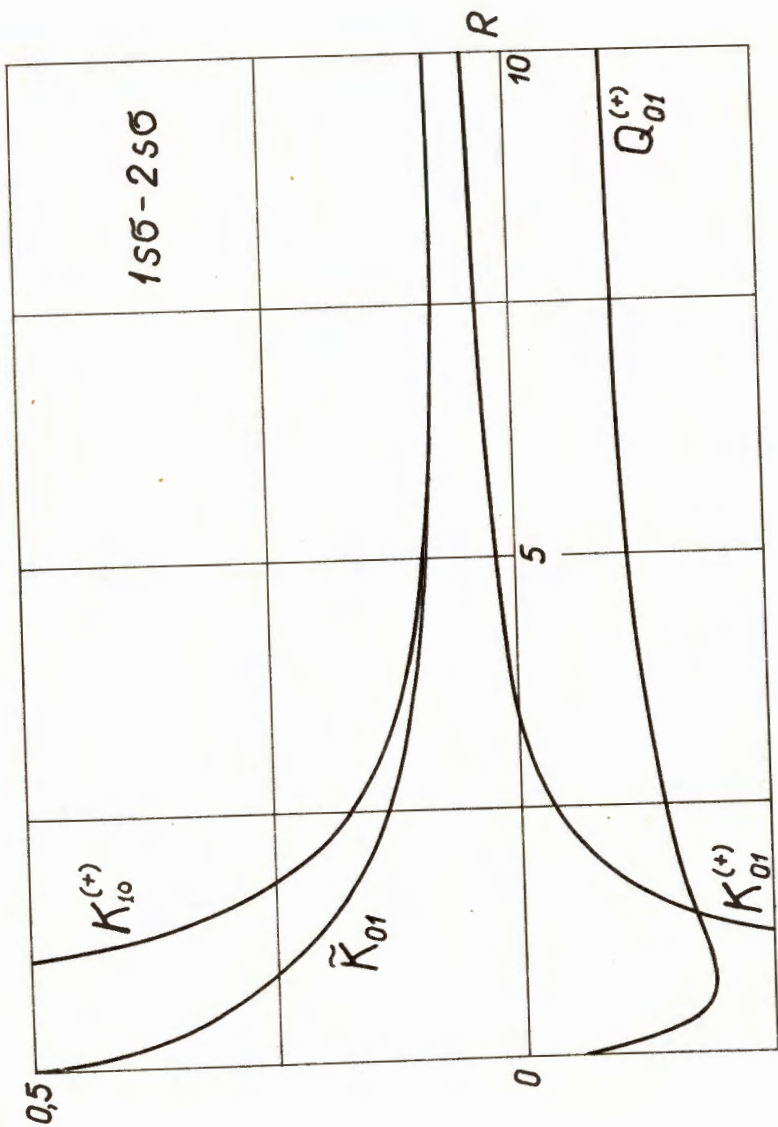


Рис. 1. Нondiagonальные матричные элементы системы $Z_1 = Z_2 = 1$ для переловов $1 \times \sigma - 2 \times \sigma$. (Нумерация термов на рис. 1-14 соответствует принятой на стр. 6).

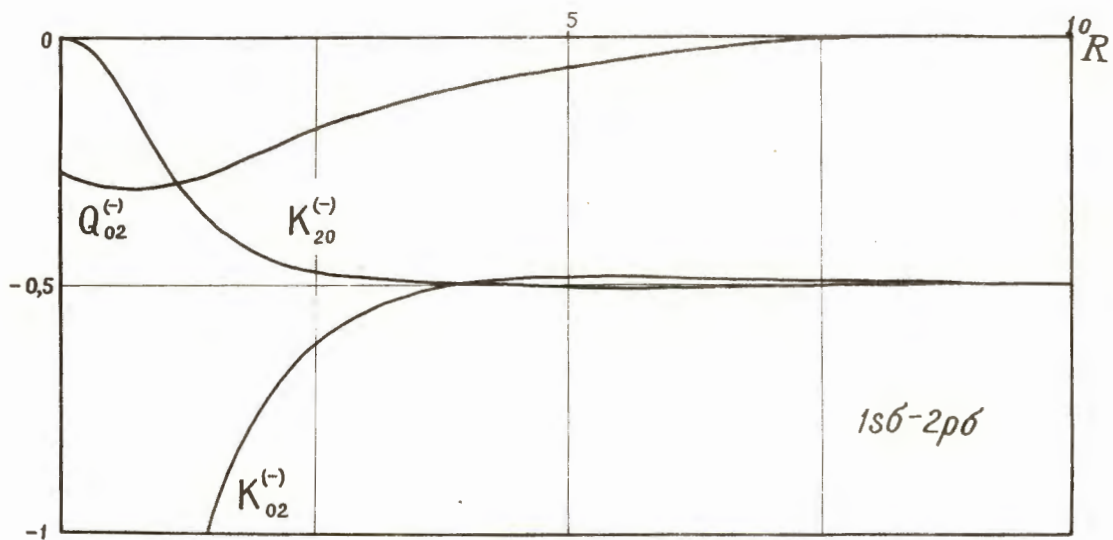


Рис. 2. Нondiagonальные матричные элементы системы $Z_1 = Z_2 = 1$ для переходов $1s\sigma - 2p\sigma$.

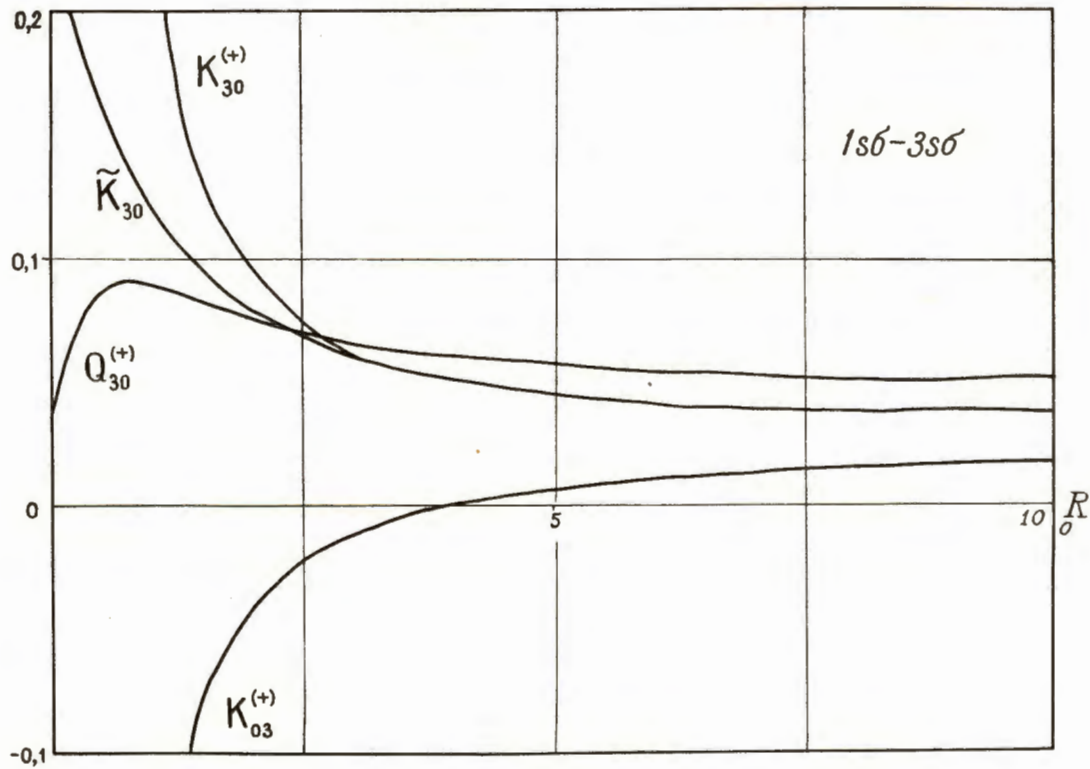


Рис. 3. Недиагональные матричные элементы системы $Z_1 = Z_2 = 1$ для переходов $1s\sigma - 3s\sigma$.

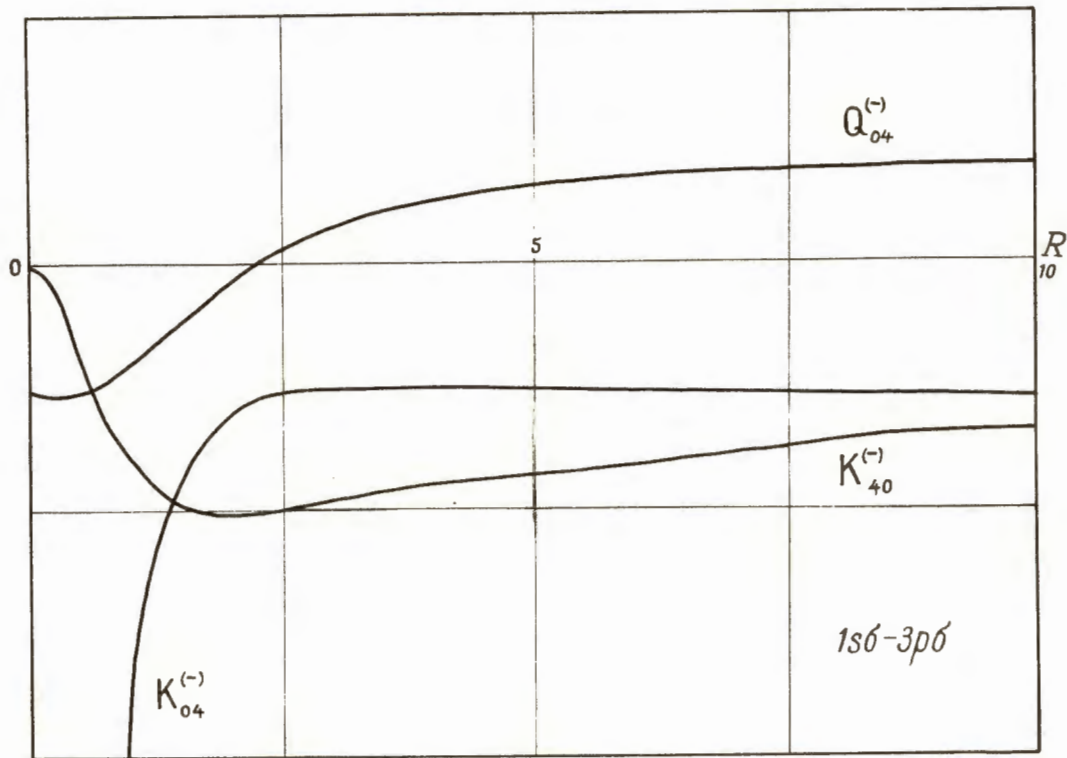


Рис. 4. Недиагональные матричные элементы системы $Z_1 = Z_2 = 1$ для переходов $1s\sigma - 3p\sigma$.

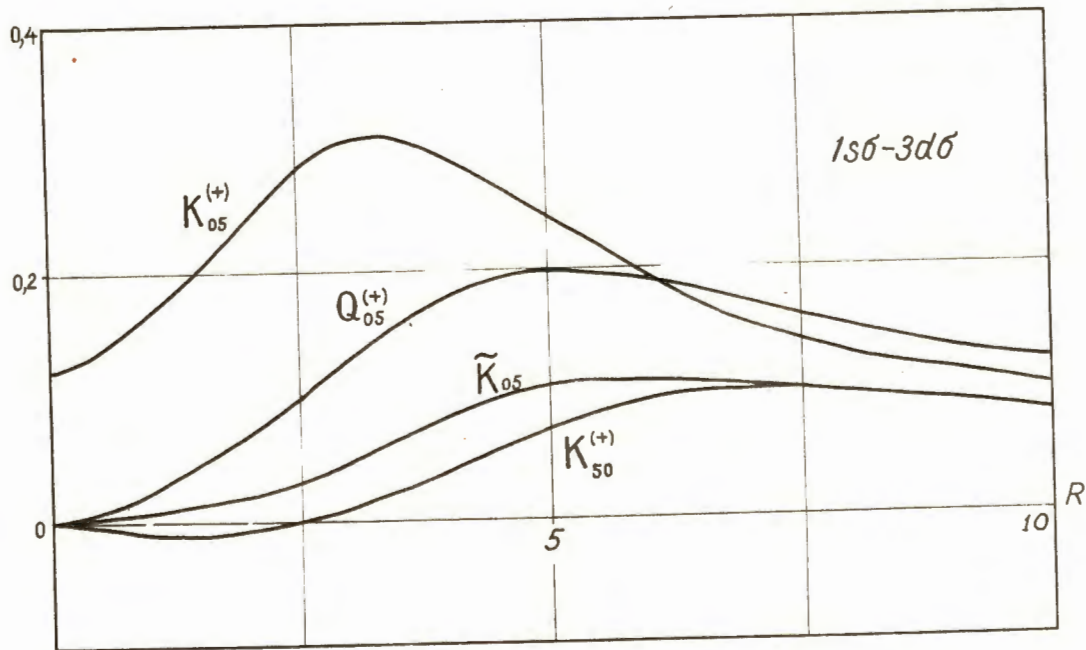


Рис. 5. Нondiagonальные матричные элементы системы $Z_1 = Z_2 = 1$ для переходов $1s\sigma-3d\sigma$.

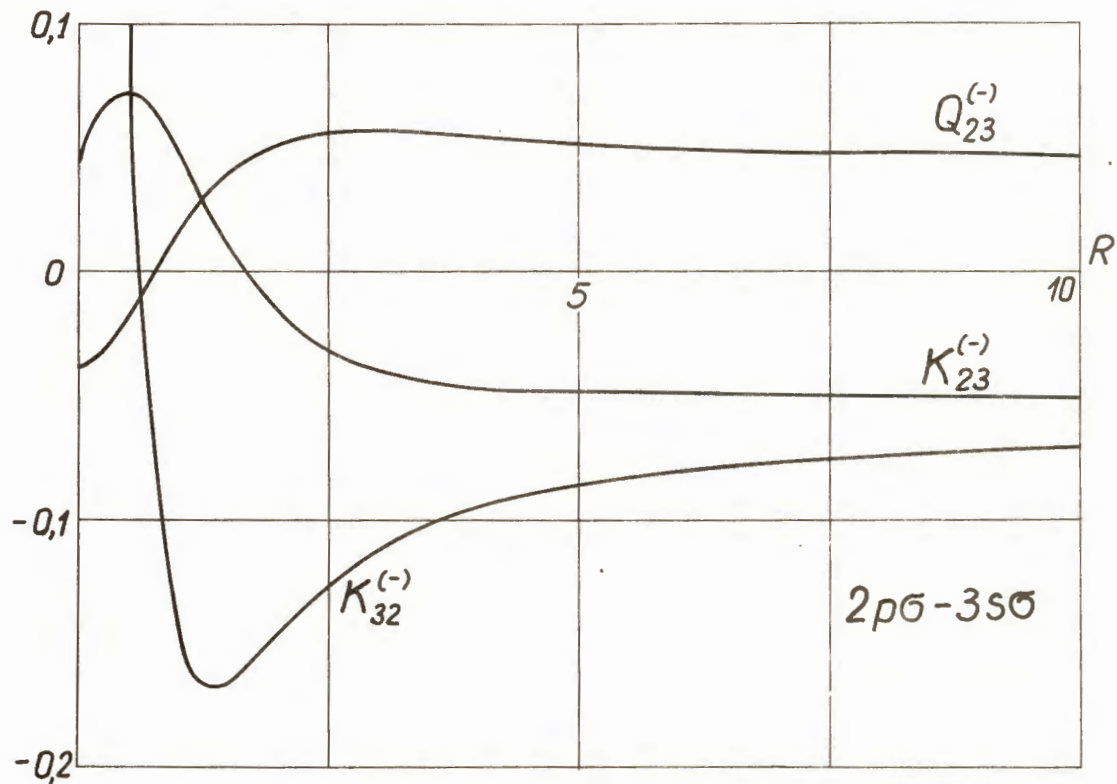


Рис. 6. Нondiagonальные матричные элементы системы $Z_1 = Z_2 = 1$ для переходов $2p\sigma - 3s\sigma$.

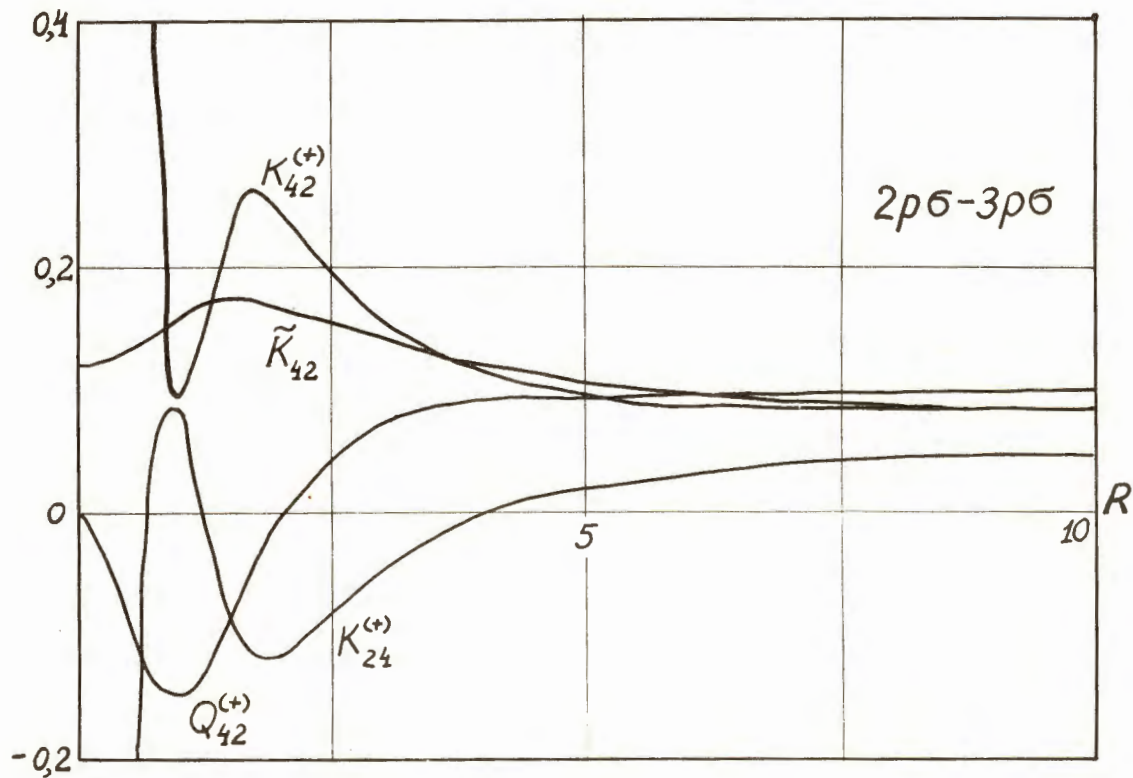


Рис. 7. Нondiagonальные матричные элементы системы $Z_1 = Z_2 = 1$ для переходов $2p\sigma - 3p\sigma$.

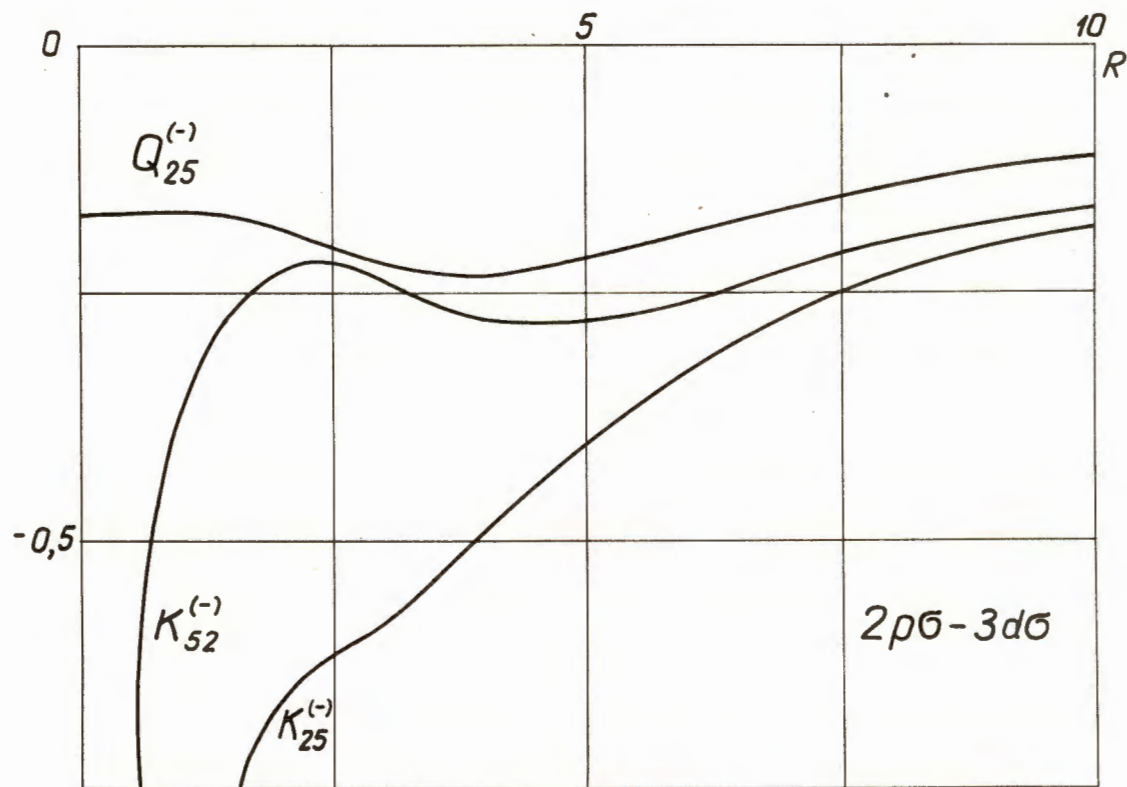


Рис. 8. Нondiagonальные матричные элементы системы $Z_1 = Z_2 = 1$ для переходов $2p\sigma - 3d\sigma$.

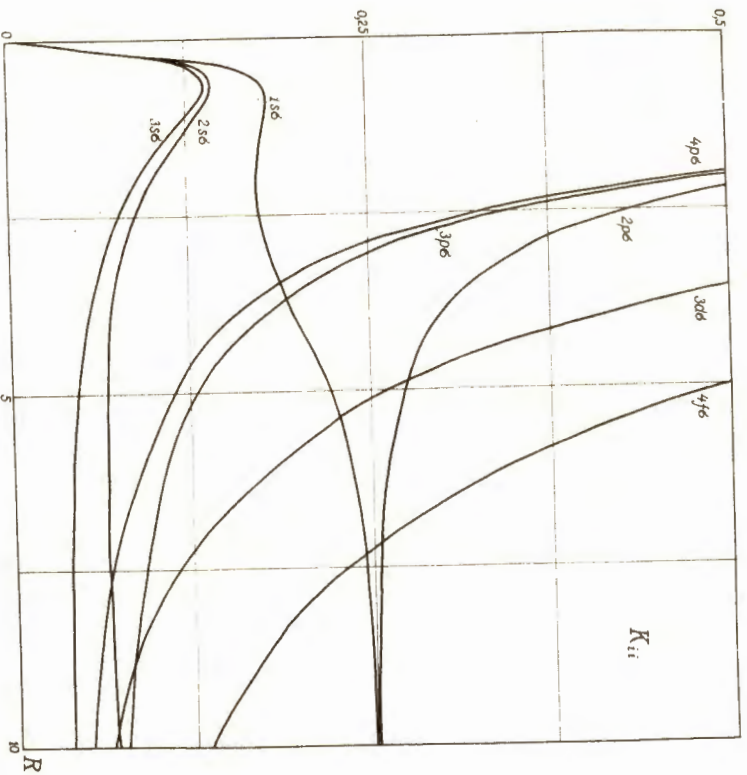


Рис. 9. Диагональные матричные элементы для системы $Z_1 = Z_1, M_{ii} = N_{ii}^2$
 В этом случае $\kappa_{ii} = \frac{1}{4n^2} \Pi K_{ii} = K_{ii}^{(-)}$. При $R=0$ $K_{ii} = \frac{1}{R^3}$
 при $R \rightarrow \infty$ $K_{ii} \rightarrow \frac{1}{4n^2}$ где $n = N - \text{Ent}(l/2)$.

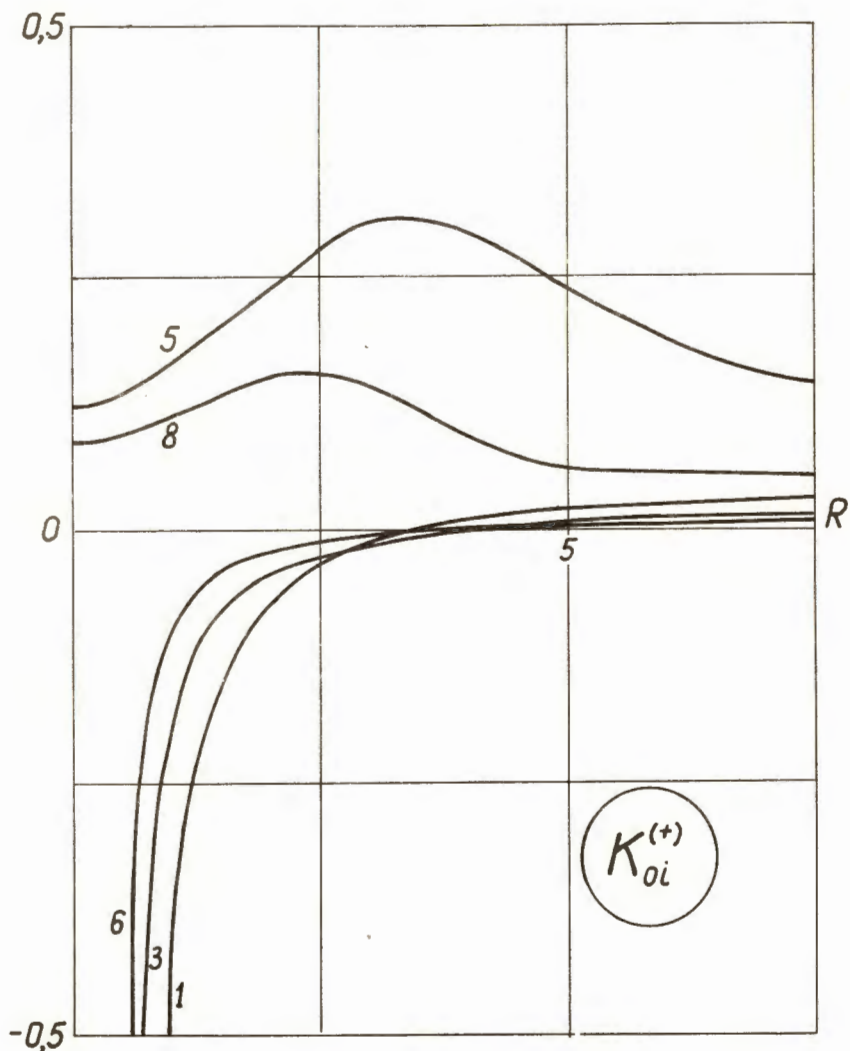


Рис. 10. Сравнительная величина недиагональных матричных элементов $K_{0i}^{(+)}$ системы $Z_1 = Z_2 = 1$ описывающих переходы $1s\sigma \rightarrow Nl\sigma$. Цифры у кривых соответствуют значению $i = |Nl_m|$ согласно нумерации термов на стр. 6.

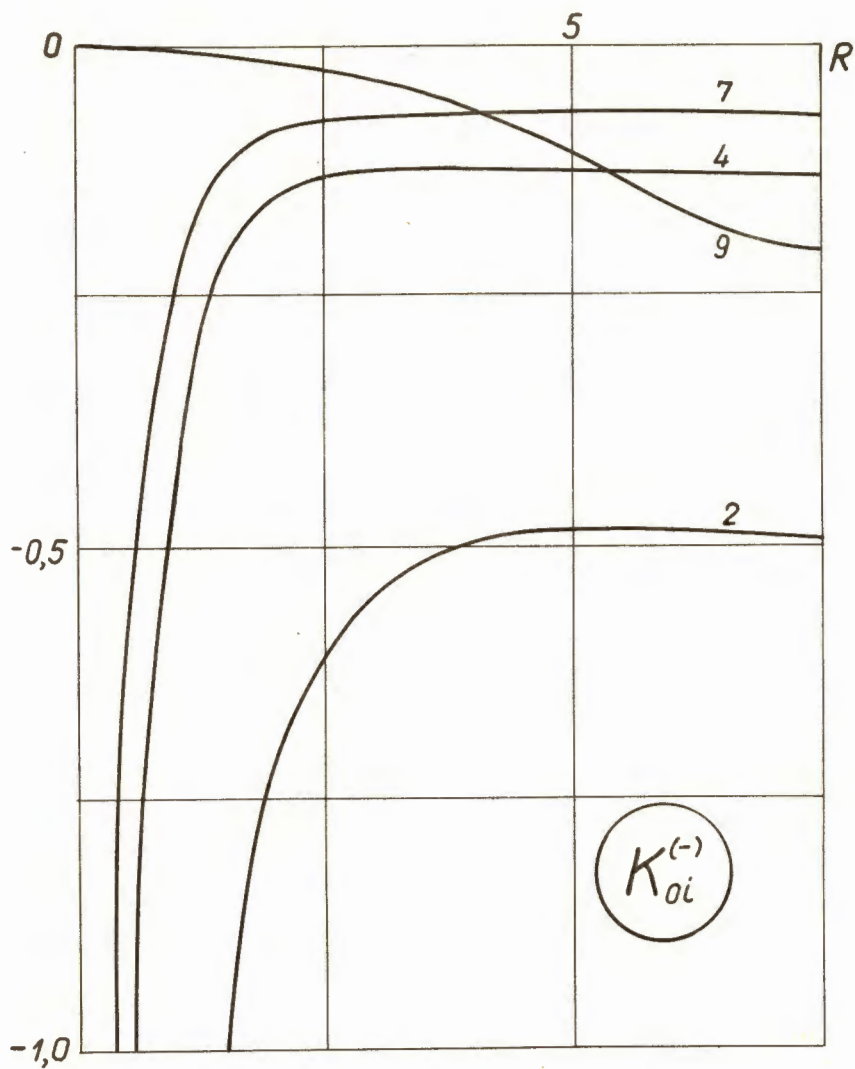


Рис. 11. Сравнительная величина недиагональных матричных элементов $K_{oi}^{(-)}$ системы $Z_1 = Z_2 = 1$ для переходов $1s\sigma \rightarrow Nl\sigma$.

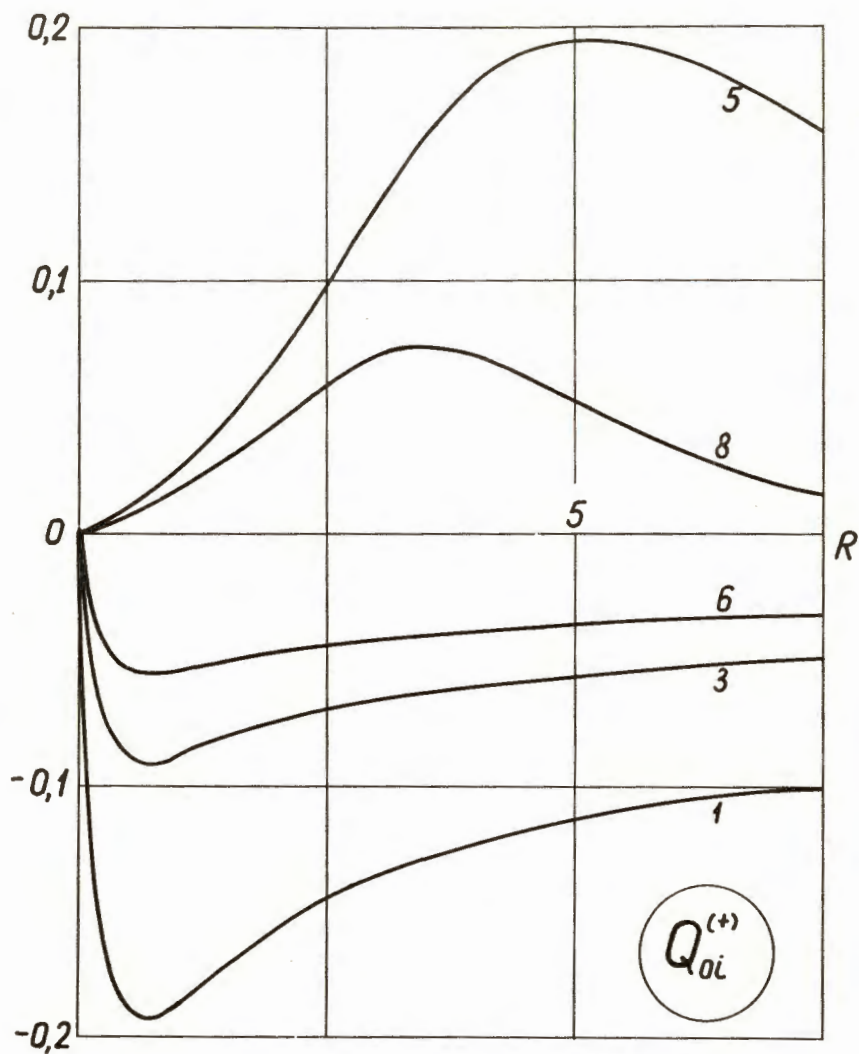


Рис. 12. Сравнительная величина недиагональных матричных элементов $Q_{0i}^{(+)}$ системы $Z_1 = Z_2 = 1$ для переходов $1s\sigma \rightarrow N\ell\sigma$.

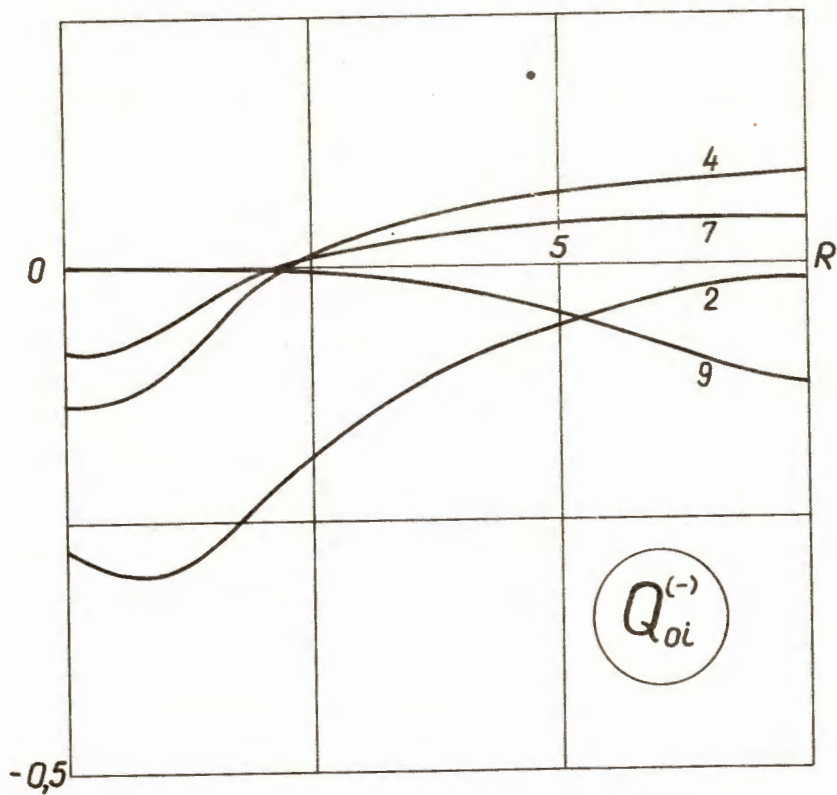


Рис. 13. Сравнительная величина внедиагональных матричных элементов $Q_{oi}^{(-)}$ системы $Z_1 = Z_2 = 1$ для переходов $1 \rightarrow \sigma \rightarrow N \leftarrow \sigma$

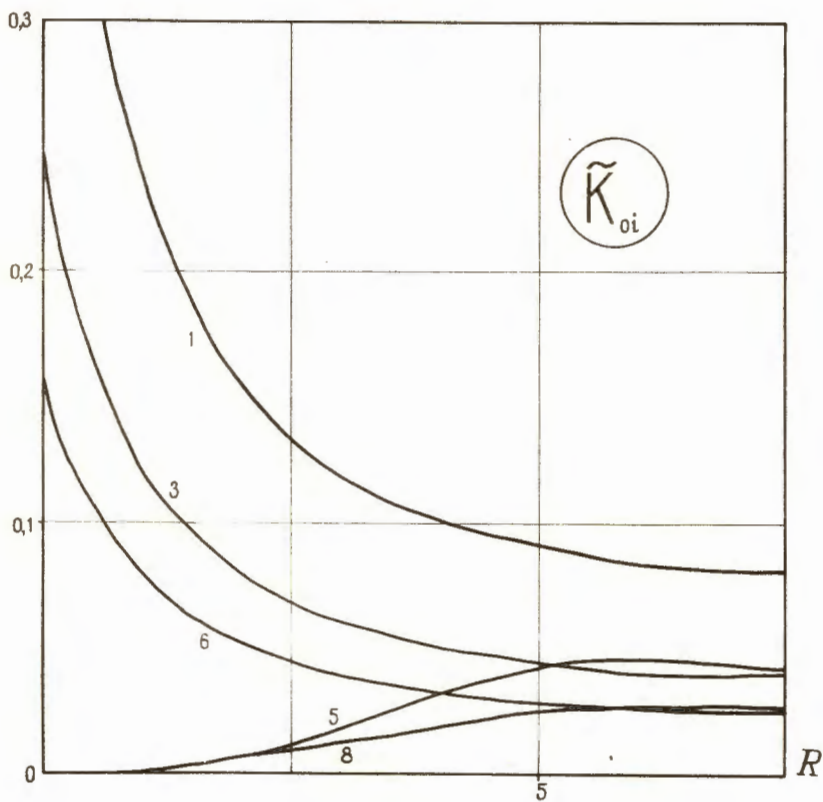


Рис. 14. Сравнительная величина недиагональных матричных элементов \tilde{K}_{oi} системы $Z_1 = Z_2 = 1$ для переходов $1s\sigma \rightarrow n\ell\sigma$

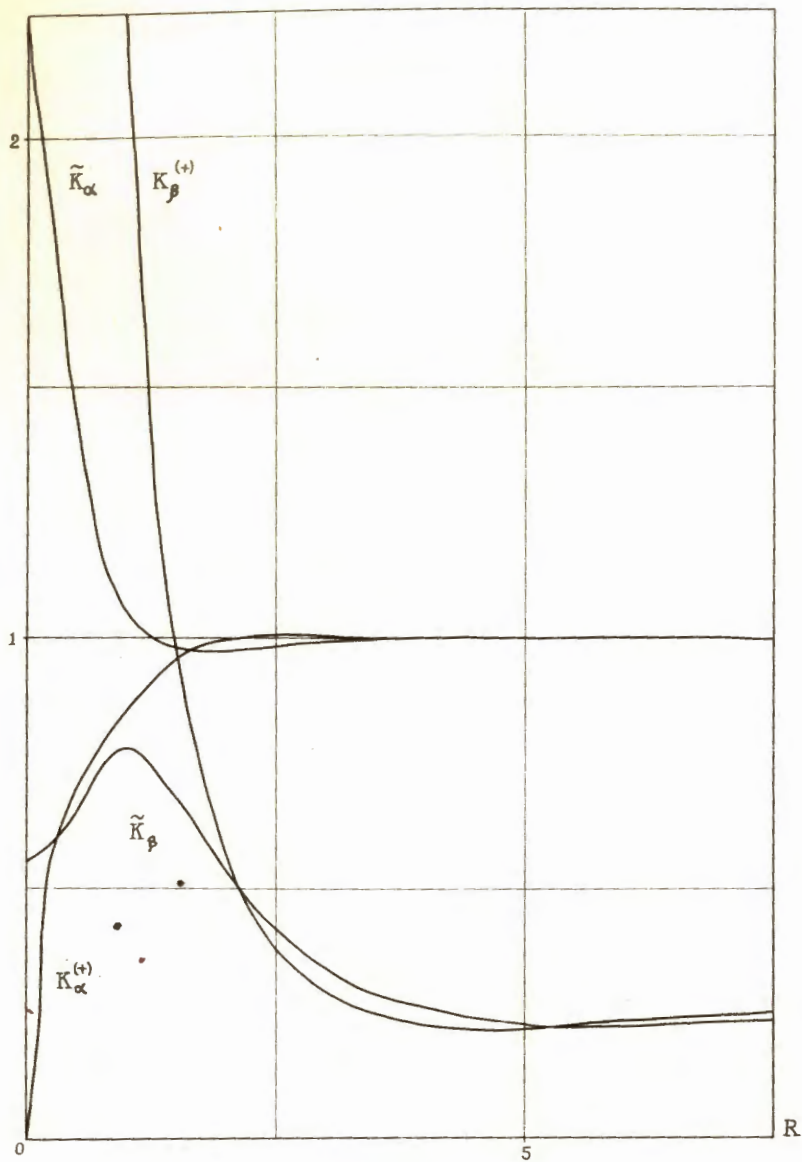


Рис. 15. Диагональные матричные элементы системы $Z_1 = 1; Z_2 = 2$ для термов $1s\sigma (K_{\alpha\alpha} = K_{\alpha})$ и $2p\sigma (K_{\beta\beta} = K_{\beta})$.

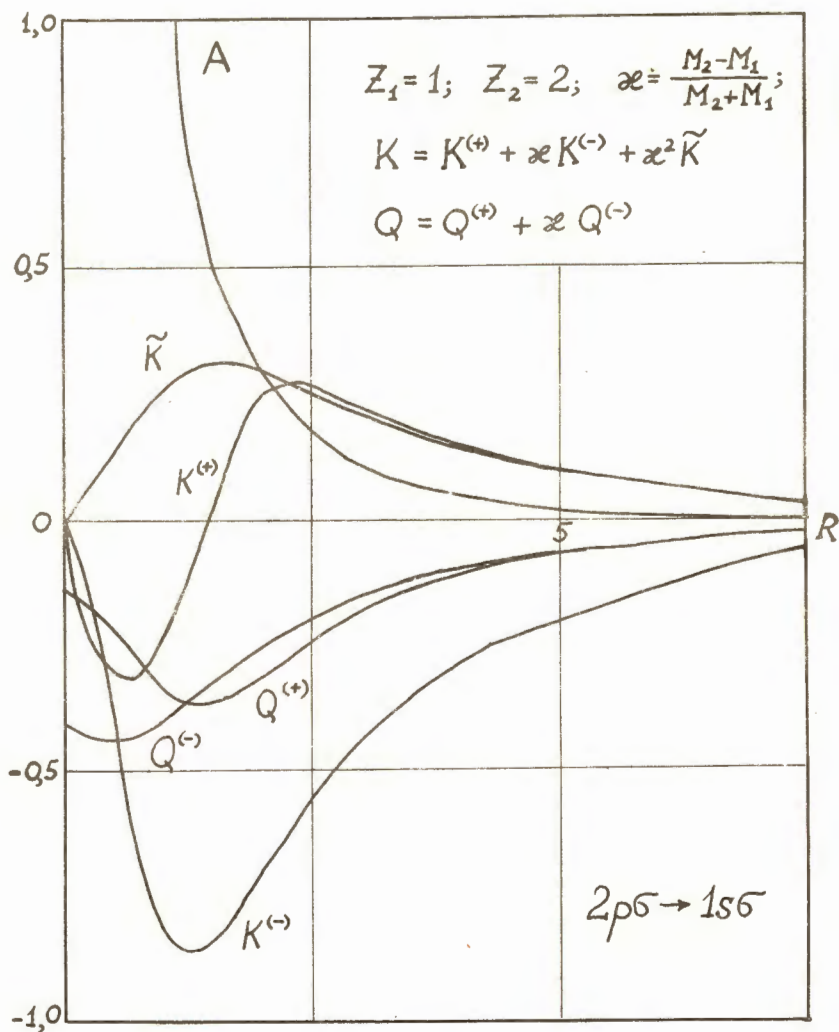


Рис. 16. Нondiagonальные матричные элементы системы $Z_1 = 1, Z_2 = 2$, описывающие переходы $2p\sigma \rightarrow 1s\sigma$. $A = A_{1j} = |E_1 - E_j|^3 |R_{1j}|^2$

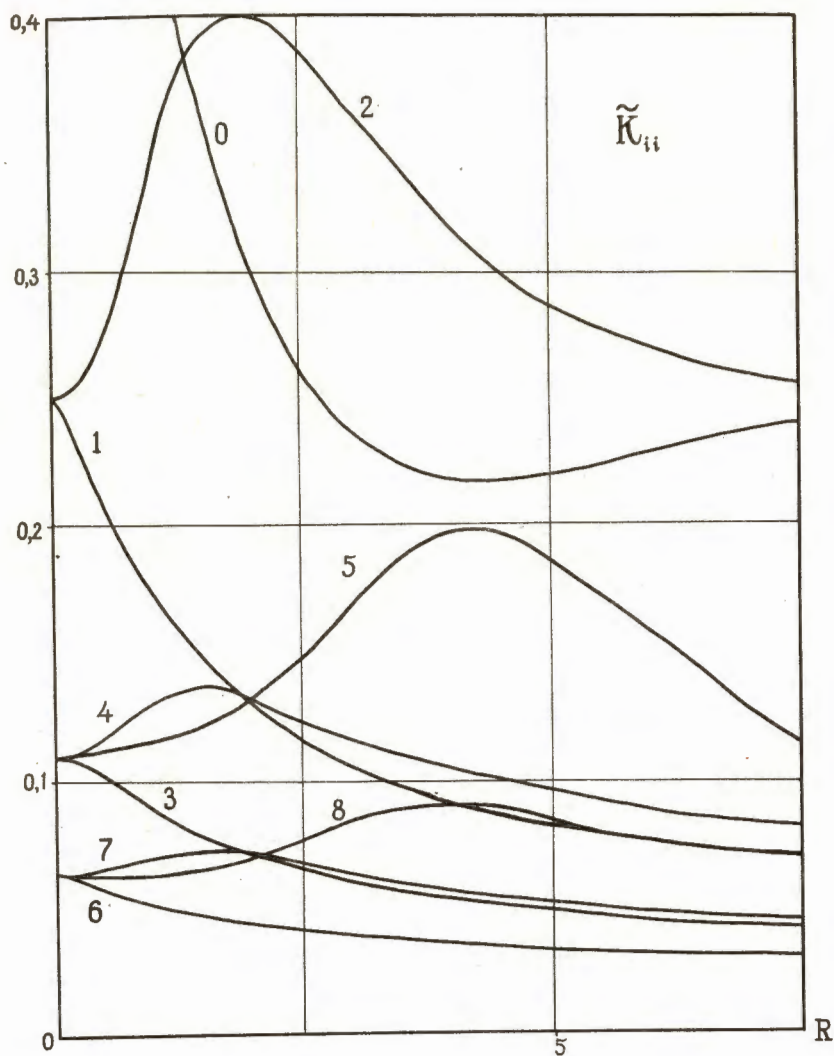


Рис. 17. Диагональные матричные элементы \tilde{K}_{ii} системы $z_1 = z_2 = 1$.